



ارائه شده توسط :

سایت ترجمه فا

مرجع جدیدترین مقالات ترجمه شده

از نشریات معتربر

آسیمیلاسیون نیتروژن و سولفور در گیاهان و جلبک ها

چکیده

نیتروژن و سولفور فراوانترین ترکیبات سلولهای گیاهی و جلبک ها می باشند که به صورت NH_4^+ و S^{2-} جذب می شوند. هرچند آنها (بخصوص در مورد سولفور) به صورت اکسید هم یافت شوند مثل NO_3^- و SO_4^{2-} . برخی در مسیر انتقال و آسیمیلاسیون آنها تفاوت‌های جزئی ای وجود دارد. مهمترین تفاوت در گیاهان آوندی و جلبک ها نحوه ای استفاده از نیتروژن و سولفور است. با این وجود، در مورد تنظیم آنها احتمالات بیشتری وجود دارد. مصدق این امر، آسیمیلاسیون نیترات در گیاهان توسط فسفوریلاسیون تنظیم می شود. در جلبک ها، تنظیم ردوکس اهمیت بیشتری پیدا می کند. مشابه این امر، احیای سولفات دارای یک مرحله ای اساسی کنترل در سطح APS ردوکتاز در گیاهان عالی است. در حالی که اخیرا در جلبک ها تنظیم ردوکس برای ATP سولفوریلاز فرض شده است که اولین مرحله از آسیمیلاسیون سولفات است. متاسفانه، اطلاعات بدست آمده از آسیمیلاسیون نیتروژن و سولفات مربوط به تعداد کمی از گونه ها (مثل *Chlamydomonas reinhardtii*, *Arabidopsis thaliana*) می باشد. این امر

خصوصا در مورد سولفور صحت دارد.

کلمات کلیدی : تغذیه، نیتروژن، گوگرد، جذب، ادغام، سیگنانالینگ

2. سولفور و نیتروژن در گیاهان و جلبک ها

استوکیومتری گیاهان و جلبک ها نشان می دهد که نیتروژن و سولفور بیشترین ترکیب در سلول های فتوسنتری هستند. هزینه ای آسیمیلاسیون نیتروژن و سولفور در استوکیومتری چندان زیاد نیست(جدول 1). در شرایط کاهش انرژی برای انجام مسیر سولفور و نیتروژن رقابت بوجود می آید و میزان این رقابت به توانایی انعطاف استوکیومتری سلول در حضور عناصر موجود در محیط و میزان کسب و آسیمیلاسیون آنها بستگی دارد. هزینه ای آسیمیلاسیون زمانیکه در ساقه های گیاهان آوندی خشک زی انجام می شود افزایش می یابد. محلی است که نیترات و سولفات معمولاً آسیمیله می شوند. آسیمیلاسیون نیترات و سولفات OH^- تولید می کند. با اینکه OH^- تولید شده در ریشه

ها اکثرا در خاک آزاد می شود، اکثر OH^- تولید شده در ساقه ها در نتیجه ی آسیمیلاسیون نیترات و سولفور درون گیاه باقی مانده و توسط اسیدهای آلی بی اثر می شوند. هزینه ی انرژی بی اثر کردن OH^- به طور مستقیم از احیا کننده ای فتوسنترزی برداشت می شود. فرار از اسید اضافی تولید شده در نتیجه ی آسیمیلاسیون آمونیوم و دی نیتروژن سخت است و این امر محدود به ریشه ها، جایی که آمونیوم یا نیترات می توانند با خروج پروتون ها به ریشه جذب شوند، است.

Cost of the assimilation of 1 mole of CO_2 , NO_3^- or SO_4^{2-}	ATP equivalents	kJ mol^{-1}	Cost of CO_2 , NO_3^- or SO_4^{2-} assimilation in kJ according to average elemental stoichiometry, assuming $\text{P}=1$	Marine phytoplankton	Herbaceous plants
$\text{CO}_2 \rightarrow \text{CH}_2\text{OP}$	11	605	75,020	87,120	
$\text{NO}_3^- \rightarrow \text{Lys}$	43	2255	98,080 (48% of C assimilation)	38,335 (44% of C assimilation)	
$\text{SO}_4^{2-} \rightarrow \text{Cys}$	33	1815	23,60 (3% of C assimilation)	1561 (1.8% of C assimilation)	

جدول 1 .

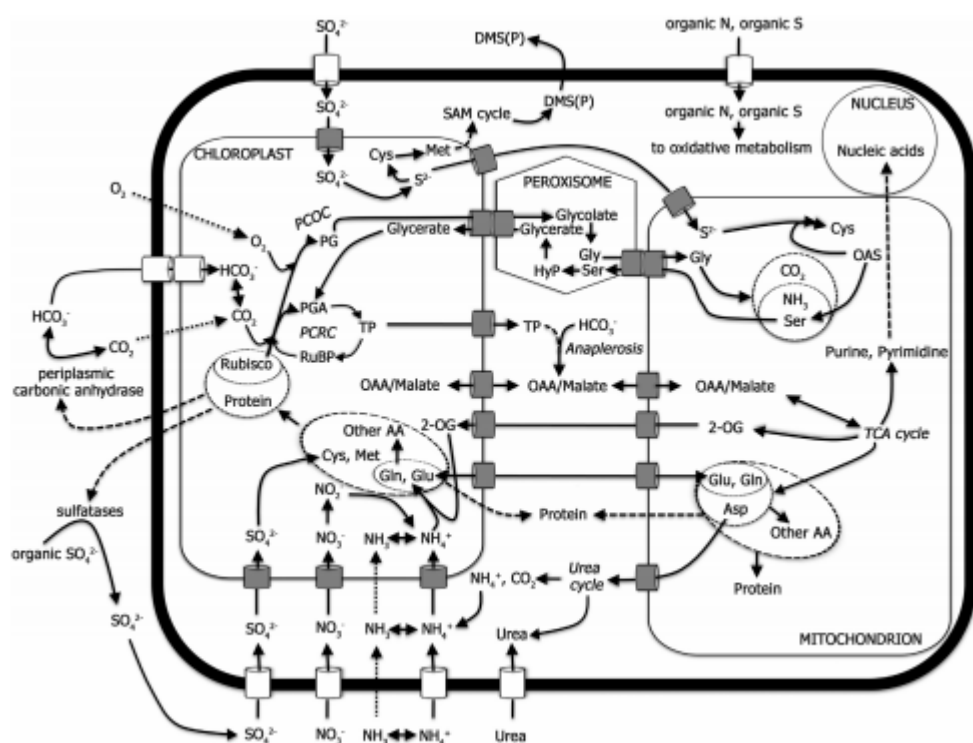
نیتروژن و سولفات دو ترکیب ضروری از ترکیبات حدواسط متابولیسم اولیه هستند، هردو در آمینواسیدها و پروتئین ها، اسیدهای نوکلئوتید (شامل $\text{NAD(P)H}/\text{NAD(P)}^+$, ADP/ATP) و اسیدهای نوکلئیک؛ نیتروژن و سولفات در ویتامین ها و نیتروژن در فتوتروف ها، کلروفیل ها و کروموفورهای فیکوبیلین یافت می شوند.

در مواد موثر در رشد مثل ایدول استیک اسید و سیتوکینین ها نیتروژن برای توسعه ی امبریوفیت ها (رویان رست، گیاهان نوع Embryobionta که رویان آنها در داخل تخم محصور است) و برخی جلبک ها ضروری است. هم نیتروژن و هم سولفور در مکانیسم پاسخ به تغییر شرایط محیطی (زیستی و غیر زیستی) نقش دارند. پاسخهای آنها شامل تغییرات کیفی و کمی در ترانس کربپیتوم نیتروژن و پروتئوم نیتروژن و سولفور است. در اسمولاتهایی مثل گلایسین بتائین (نیتروژن) و دی متیل سولفونیوپروپیونات (سولفور) در مواد مرتبط با رشد مثل اکسین و سیتوکینین (نیتروژن) در ترکیباتی مثل گلوتاتیون (نیتروژن و سولفور) که در تنش های اکسیداتیو یافت می شوند. در شلاتورهای فلزات سنگین مثل متیلوتیونین و فیتوكلاتان ها (نیتروژن و سولفور) و در ترکیبات دفاعی علیه بیوفاژها، انگل ها و علفخوارها (نیتروژن و سولفور) وجود دارد.

نیتروژن اغلب ماده ی محدودی در سطح زمین و دریا است. کمبود سولفور موجب محدود شدن رشد در گیاهان خشکی می شود. خصوصا در کشت های وسیعی که کود نیتروژن استفاده می شود و همچنین بعد از استفاده از

پروتوكل اسلو در سال 1979 میزان SO_4^{2-} کاهش یافت. امروزه گیاهان ساکن آب ندرتا دچار کمبود سولفور می‌شوند. با این وجود این امر همیشه صادق نیست، زیرا غلظت سولفور از دوره‌ی مژوزوئیک در اقیانوس‌ها بیش از چند بار از حد ماقزیم بالاتر رفته است. اگرچه، پروتوكل اسلو موجب کاهش سولفات‌های در آب‌های تازه‌ی اروپا و امریکای شمالی شد، بعد از آن نشانه‌های کاهش سولفور در دریاچه‌های آفریقا پدیداکثر شد. که نشان از مصرف کم سولفور داشت، اما نیتروژن در بیان اکثر پروتئین‌های ریبوزومی باکتریایی شامل سیانوباكتریهای آب‌های تازه و دریایی استفاده می‌شد. حضور بیش از اندازه‌ی سولفور در اقیانوس‌ها دو مزیت دارد. برای مثال، کاهش نیاز به سولفات‌های خارج سلولی (هنوز در ژنوم برخی جلبک‌های دریایی آریل سولفات‌های وجود دارد) و برای شباهت زیاد ناقل‌ها (که در کلامیدوموناس بیان می‌شوند، اما نه در *Dunaliella salina*). کاهش مکرر نیتروژن در اقیانوس‌ها ممکن است

موجب کاهش دیازوترافت^۱ آهن و فسفر شوند.



شکل ۱

^۱ دیازو (دارای دو اتم ازت که مستقیماً با یک ریشه‌ی آلی ترکیب شده است)

در گیاهان NO_3^- به عنوان ترکیب اسمزی عمل کرده و می تواند در واکوئل ها تا بیش از 100mM تجمع یافته و تورگور را کنترل کند. تجمع نیترات واکوئلی برای برخی از ماکروآلجی ها نیز اتفاق می افتد؛ مثلا در گونه *ی لامیناریا* و فوکوس غلظت نیترات داخلی بیش از 10 بار بیشتر از نیترات محیط خارج در زمستان، زمانی که رشد کمتر است، می باشد. این منبع نیترات در بهار و تابستان کاهش می یابد.

تجمع سولفات و ذخیره NO_3^- آن در واکوئل گیاهان آوندی شناخته شده است. با سیستم های برون شارشی که در تونوپلاست قرار گرفته، حرکت این ماده کنترل می شود. در سلولهای جلبکی ترکیبات گوگردی برای کنترل اسمز استفاده می شوند. این نقش بیشتر برای DMSP پیشنهاد می شود که در برخی جلبک ها مقدار زیادی گوگرد را در یک سلول جمع می کند. تولید DMSP با کاهش نیترات تحریک می شود، این امر این فرضیه را بوجود می آورد که در زمان اکسیژناسیون آبهای سطحی سولفور زیادی تولید می شود و همزمان نیتروژن کاهش می یابد و تولید DMSP راهی فرعی برای اسمولیتهای با اساس نیتروژن می باشد. توانایی تولید DMSP دارای مزیتها بی در زمان کاهش نیتروژن در اقیانوس است. DMSP ممکن است به عنوان منبع ذخیره NO_3^- گوگرد و کربن در سلول برای حفظ استوکیومتری مناسب در زمان کاهش نیتروژن عمل کند. گیاهان خشکی زی اکثرا قادر توانایی تولید DMSP اند؛ تنها برخی از جنسهای آنزیوسپرم ها مثل *Spartina* و *Saccharum* و *Wollastonia* این ویژگی را دارند. اما مسیرهای بیوسترنی متفاوتی از جلبک ها دارند. برخی ماکروآلجی های دریایی سولفات را به عنوان آنیون اصلی در خود دارند. در واکوئل، با ترکیب با پروتونها ثابت می شوند. این ترکیبات واکوئلی در برخی گونه ها مثل *Plocamiales* (Phaeophyceae: Fucophyceae) *Dictyotales* و *Desmarestiale* (Rhodophyta: Florideophyceae?) وجود دارد. دلیل اسیدی بودن واکوئل ها در حضور غلظت زیاد گوگرد هنوز مشخص نیست. دفاع علیه علفخوارها احتمالا موجب کاهش pH می شود، با این وجود این امر مشخص نمی کند که چرا سولفات علاوه بر مقدار زیادی کلراید در یک جا تجمع یافته اند. *Chara buckelii* دارای مقدار زیادی سولفات و منیزیم در واکوئل می باشد.

دیواره‌ی سلولی اکثر جلبکهای قرمز و قهوه‌ای ساکن دریا حاوی پلی مرهای گالاكتون سولفات می‌باشد (کاراژینان، آگار، فوکوایدان). مانند های سولفاته در دیاتوم‌ها به صورت فروستول وجود دارند. گیاعان خشکی زی فاقد پلی ساکاریدهای سولفاته در دیواره‌ی سلولی اشان اند. اگرچه به طور متوسط در علف دریایی *Ruppia maritime* وجود دارد. فقدان این ترکیبات ممکن است از اجداد جلبکی دریایی به گیاهان ارث رسیده باشد (جلبک سبز دریایی کاریوفیسه فاقد این ترکیبات در دیواره‌ی سلولی اش می‌باشد). اگرچه باید به یاد داشت که پلی ساکاریدهای سولفاته در دیواره‌ی سلولی در برخی ماکروآلجی‌های سبز دریایی جنس *Codium* و *Ulva* وجود دارد. گیاهان آوندی مقدار زیادی متابولیتهای سولفاته تولید می‌کنند که اغلب در واکنش‌های زیستی نقش دارند.

حضور سولفولیپیدها در غشاء تیلاکوئیدها اغلب وابسته به کاهش فسفر است. با توجه به شرایط رشد، غلظت سولفولیپیدها در تیلاکوئیدهای جلبک سبز نسبت به گیاهان آوندی و حتی نسبت به سیانوباکتریهای دیاتوم‌ها نیز بیشتر است. این امر پیشنهاد می‌کند که مزیت سولفولیپیدها در دیاتوم‌ها در تعیین دمینهای درون غشاهای تیلاکوئیدی بدون گرانول تعیین کننده‌ی برخی ساختارها و عملکردهای مختلف است.

3. منبع نیتروژن و گوگرد

3.1 منبع غیرآلی نیتروژن و گوگرد

جلبک‌ها و گیاهان قادر به استفاده از نیتروژن مولکولی هستند زمانی که با باکتریهای دیازوتروفیک همزیست هستند یا سیانوباکتریهایی که مستقیم اینکار را انجام می‌دهند. مکانیسم‌های بیولوژیکی برای آسیملاسیون عنصر گوگرد شناخته نشده است. اگرچه جلبک‌ها و گیاهان میتوانند آنرا به طور مستقیم یا غیر مستقیم تولید کنند عنصری مثل گوگرد دارای فعالیت آنتی بیوفاژی است.

اکثر فرمهای معمول نیتروژن غیرآلی توسط ارگانیسم‌های فتوسنتز کننده مصرف می‌شود، بیشترین نوع این ترکیبات NO_3^- و NH_4^+ و گهگاه NO_2^- است. در خاک‌های اکسیژن دار، NO_3^- منبع اصلی ترکیبات نیتروژنی برای گیاهان است. در اقیانوس در نواحی سرد نیترات بیشترین میزان را دارد، اما در باقی مکان‌ها، میزان آن کمتر است. محصولات ابتدایی فتوسنتزی در آبهای اقیانوسی اغلب محدود به حضور ترکیبات نیتروژن دار است.

آمونیوم مهمترین منبع نیتروژن برای ارگانیسم های فتوسنتز کننده است. آنالیزها نشان می دهد که بیشتر نیتروژن آسیمیله شده توسط جلبک های دریایی و گیاهان خشکی زی به ترتیب نیتروژن مولکولی، نیتروژن آلی، آمونیوم، NO_3^- و NH_3 نهایتا- NO_2^- می باشد.

همه ی جلبک ها و گیاهان قادر به آسیمیلاسیون آمونیوم و برخی از اشکال نیتروژن آلی هستند. با اینکه اکثر جلبک ها و گیاهان می توانند نیترات را هم جذب کنند. که البته استثنائاتی در این زمینه وجود دارد مثل سیانوباكتری *فيتوپلانکتونی* *Prochlorococcus* که ساکن آبهای گرم است. محیط طبیعی حاوی مخلوطی از ترکیبات نیتروژن دار است. کاهش نیتروژن دراقیانوسهای فقیر از نظر مواد غذایی مشخص است. جایی که چرخه ی نیتروژن از ارگانیسم های زنده درون *فيتوپلانکتون* ها انجام می شود. در رسکوونتگاههای خشکی مهارکننده های نیتریفیکاسیون زیادی وجود دارد. جلبک ها و گیاهان این مکان ها با غلظت مناسبی از نیترات زندگی می کنند. به عبارت دیگر، توطیع خاک با نسبت کمی از نیتریفیکاسیون و علفهای هرزکه در آنجا ساکن اند با نیترات نسبت به آمونیوم رشد سریعتری دارند.

4. کسب کردن

4.1 نیتروژن

در گیاهان و جلبک ها سیستم ناقل های با حساسیت بالا و کم شناسایی شده اند. این سیستم های انتقال توسط کوترانسپورت پروتونی ($2\text{H}^+:\text{1NO}_3^-$) یا، در گیاهان گلدار دریایی *Z. marina*، با کوترانسپورت سدیم ($2\text{Na}^+:\text{1NO}_3^-$) انرژی دریافت می کنند. سیانوباكتریها از ناقل ABC برای نیترات و با مصرف مستقیم از ATP و بدون دخالت کوترانسپورت استفاده می کنند. ناقل NRT1 در گیاهان وجود دارد و ژنوم آن در کلامیدومonas هم شناسایی شده است. خانواده ی ژن NRT1 شامل تعداد زیادی ژن است که برخی از آنها در انتقال پپتیدها و احتمالا دیگر متابولیتها مثل اکسین، آبسیزیک اسید، هیستیدین و گلوکوزینولات ها نقش دارد. در آرابیدوپسیس ژن NRT1.1 ممکن است به عنوان ناقل با حساسیت بالا یا پایین وابسته به فسفوریلاسیون عمل کند؛ شکل فسفوریله

شده‌ی آن نقش حساسیت بالا به نیترات را دارد و زمانی که نیترات محیط کم باشد بیان می‌شود. هم AtNRT1 در دیگر فرایندها مثل باز شدن روزنہ نقش دارد. دیگر NRT1 ناقلين با حساسیت پایین هستند. ناقلين2 NRT2 به طور گستردۀ ای در پروکاریوت‌ها و یوکاریوت‌ها پراکنده شده‌اند. به طور معمول برای انتقال آنیون‌هاست. در گیاهان و در کلامیدوموناس ناحیه‌ی C ترمینال سیتوزولی این ناقل بسیار طولانی است و گاهی اوقات با پروتئینی به نام NAR2 در کنار یکدیگر قرار گرفته است (آسیمیلاسیون نیترات وابسته به پروتئین 2 است). حضور این پروتئینها برای حساسیت بالا به نیترات حداقل در آرابیدوپسیس و کلامیدوموناس ضروری به نظر می‌رسد.

در گیاهان ناقل NRT2 با حساسیت بالا و پایین برای نیترات وجود دارد. ناقل حساسیت بالا می‌تواند معمولاً توسط نیترات فعال شود. همچنین در کلامیدوموناس انواع مختلفی از ناقلين نیترات با حساسیت بالا و پایین وجود دارند. در این جلبک سبز، حداقل 4 سیستم مختلف وجود دارد: 3 سیستم (I, II, III) توسط نیترات تحریک می‌شوند و تحت کنترل تنظیمی پروتئین NIT2، توسط NH_4^+ و نه کلراید مهار می‌شوند و در غلظت‌های بالای CO_2 فعال‌اند. سیستم IV نشان از رفتار نسبتاً متفاوتی از سایرین دارد. این ناقل می‌تواند هردو NO_3^- و NO_2 را با $\text{Km} = 30-40 \mu\text{mol L}^{-1}$ به نیترات برای بیان شدنش است. مهار آن توسط آمونیوم نیست اما به کلراید حساس است و در غلظت‌های بسیار پایین CO_2 فعال است.

گروه سوم ناقلين نیترات/نیتریت در کلامیدوموناس و با نام NAR1 (آسیمیلاسیون نیترات وابسته به ترکیب 1) شناسایی شده‌اند. ژن NAR1.1 (و احتمالاً NAR1.2) در ناقل نیترات کلروپلاستی است که توسط کربن تنظیم می‌شود. ژن NAR1.1 در گروه نیترات و متصل به NIA1 وجود دارد (ژن کد کننده‌ی نیترات ردوکتاز) و با ژن NAR1.1 دیگر تنظیم می‌شود که به طور مشترک با آمونیوم مهار شده و با NIT2 کنترل می‌شوند. ژن NAR1.1 متعلق به خانواده‌ی FNT (ناقلين نیتریت/فرمات) می‌باشد، که به نظر می‌رسد در گیاهان و جانوران حضور ندارد.

در کلامیدوموناس، پروتئینهای NAR1 حضور دارند: NAR1.5 در میان میتوکندری و NAR1.3، NAR1.4 و NAR1.6 جزو ناقلین غشایی محسوب می‌شوند.

ژن NAR1 در *Ostreococcus* و دیگر جلبک‌ها، قارچ‌ها و پروتوزوا یافت شده است. ژن NAR1 در ساکارومایسیس و پلاسمودیوم حضور دارد. اگرچه این ارگانیسم‌ها نیترات و نیتریت را آسیمیله نمی‌کنند، پس احتمالاً علت حضور آن وجود پروتئین‌های درگیر در انتقال دیگر یونهای مونووالنت در کنار نیتریت است (مثل بیکربنات و فرمات). حقیقت این است که ژن NAR1.2 کلامیدوموناس به حضور کربن غیرآلی پاسخ داده و تحت کنترل ژن CCM1 است که مسئول فعالیت مکانیسم‌های غلظت‌های CO_2 می‌باشد. در *Xenopus oocytes* NAR1.2 توسط NIT2 مهار پروتئین NAR1.6 و NAR1.1 توسط NIT2 همراه نیتریت. ژن NAR1.2 عمل ناقل بی‌کربنات‌هاست (به همراه نیتریت). می‌شوند و به منبع نیتروژن پاسخ می‌دهند؛ بنابراین آنها بسیار شبیه ناقلین نیتریت عمل می‌کنند. دیگر محصولات ژن NAR1 توسط هیچ یک از CCM1 و NIT2 کنترل نمی‌شوند بنابراین به طور مستقیم در فرایندهای انتقال و جابجایی وابسته به جذب و نیتروژن و کربن نقش ندارند.

مهم است که به یادداشته باشیم که ناقلین خاص نیتریت در پلاسمالمای *A. thaliana* و *C. reinhardtii* وجود دارد.

جذب NH_4^+ هم در گیاهان و هم در جلبک‌ها وجود دارد و اکثراً توسط خانوادهٔ ناقلین AMT/MEP انجام می‌شود. ناقلین موجود به صورت سیمپورت NH_4^+ نیتروژن و پروتون به نسبت 1:1 عمل می‌کنند. به نظر می‌رسد که NH_3^+ به نسبت 1:2 NH_4^+ خاسته منتقل می‌شود و انتقال آن به صورت $\text{NH}_3^+ + 2\text{H}^+ \rightleftharpoons \text{NH}_4^+$ است. این عمل در سلول بعد از موازنی آمونیاک با NH_4^+ که تولید کنندهٔ NH_4^+ است انجام می‌گیرد.

انتقال NH_3 توسط ناقل AMT و با حضور کانال‌های موجود که در مورد نیتروژن شدیداً انتخابی عمل می‌کنند و پتانسیم را منتقل نمی‌کنند انجام می‌شود. که این امر برای NH_4^+ هم یکسان است. همچنین ممکن است که ناقل NH_4^+ با حساسیت پایین به صورت کانال پتانسیم عمل کند. وضعیت مشابه در مورد سیستم ناقل آمونیوم موجود در کلامیدوموناس نیز ممکن است اتفاق بیافتد. خانوادهٔ AMT1 کلامیدوموناس دارای تعداد زیادی ژن با توزیع

گستردگی در میان ژنوم جلبکی می باشند. برخی از این ژن ها (AMT1.1–6) دارای نسبت نزدیک با ناقلین AMT گیاهی دارند. در حالیکه AMT1.7–8 نسبت دورتری دارد. مثلا تعداد زیادی از ژن های کد شونده برای ناقلین AMT1 اضافی هستند، اما ممکن است همچنین برای تغییرات میزان نیتروژن و تنظیم تغییرات بین ترکیبات سلولی و محیط نیاز به تطبیق داشته باشند. نقش ناقلین آمونیوم کلامیدوموناس با پاسخ کموتاکتیکی به NH_4^+ در محلول پیشنهاد شده است. ناقل آمونیوم در جلبکها هنوز شناخته نشده است. ارزشمند است که جلبک سبز (prasinohyte) میکروموناس در مقابله با کلامیدوموناس و کلرلا و chromoalveolates دارای ژن های AMT1 علاوه بر AMT2 می باشند.

دیاتوم ها در غلظت های بالای NH_4^+ رشد می کند در حالیکه Cylindrotheca closterium برای رشد در NH_4^+ ناتوان است. *P. tricornutum* هم همین شرایط را دارد. آزمایشات نشان داد که اثر آمونیوم بر Cylindrotheca می تواند آن را کاهش دهد اگر غلظت پتاسیم افزایش یابد. پتاسیم در Phaeodactylum اثری ندارد.

4. سولفور

سولفات دارای ناقل های مختلفی است. خانواده ای ناقل های SULTR (ناقلین سولفور) ($n \geq 3$) $\text{nH}^+/\text{SO}_4^{2-}$ عمل می کنند. این ناقل ها در ارگانیسم های فتوسنتر کننده شناسایی شده اند. نیروهای تامین کننده ای این ناقل شیب گرادیان پروتون از میان غشا حساسیت بالای ناقل ها به کاهش سولفور است. در امبریوفیت ها، ژن سولفور در 4 خانواده رده بندی شده است (SULTR1 تا 4). مکان های آنها باهم تفاوت دارد. مثلا SULTR1 ناقل با حساسیت بالای پلاسمالاما، SULTR2 ناقل با حساسیت پایین که احتمالا در انتقال سولفات نقش دارد، SULTR3 ناقل اصلی برگ ها می باشد و و اکثرا در پلاستیدها قرار دارد و نقش فیزیولوژیکی آن مشخص نیست. SULTR4 ناقل در تونوپلاست قرار گرفته است. در کلامیدوموناس علاوه بر ناقلین SULTR، ناقلین SLT (شبه Sac1) نیز وجود دارند. که بیان آنها در زمان کاهش سولفور انجام می گیرد. این ناقل ها معمولا در کوترانسپورت $\text{Na}^+/\text{SO}_4^{2-}$ شرکت می کنند. ناقل پلاستیدی سولفور جلبک سبز دارای پروتئین متعلق به سولفات

است که در بخش خارجی غشا قرار دارد. پوشش داخلی پلاستید (غشایی که در آن انتقال فعال انجام می شود) مشتق از غشای پلاسمایی سیانوباکتری است. ناقل نوع ABC سولفات مشابه وجود دارد که متعلق به پلاسمالامای سیانوباکتری است. انتقال غیرفعال سولفات برای توزیع مجدد سولفات در بافت ها و اندامهای گیاهی اهمیت داشته باشد. در مورد سولفات نیروی محرك پتانسیل مثبت خارج سلول است. پتانسیل مثبت درون واکوئل توسط H^+ -ATPases یا H^+ -پیروفسفات تامین می شود و موجب ورود سولفات به واکوئل می گردد. اگرچه ناقل های توноپلاستی که در آرابیدوپسیس شناسایی شده اند همه متعلق به خانواده $SULT4$ بوده و در جهت خارج می باشند.

5. آسیمیلاسیون

علی رغم اکسیداسیون تعداد زیادی از ترکیبات شیمیایی که نیتروژن و سولفور را ایجاد می کنند، آنها درون ترکیباتی مثل آمونیوم-آمونیا و سولفید جای گرفته اند که بیشترین فرم نیتروژن و سولفور را در طبیعت تشکیل می دهند. راههای فرعی برای آسیمیلاسیون نیتروژن وجود دارد: مثلا، در ویولا، ترکیبات نیترو در دفاع گیاهان با اکسیداسیون گروهای آمین تشکیل می شوند. گروه سولفونیک اسید در سولفولیپید از طریق تبدیل سولفیت به سولفونات آلی ایجاد می شود. در حالیکه استر سولفات پلی ساکاریدهای دیواره ای سلولی جلبک های قهوه ای، سبز و قرمز و علف های دریابی و ترکیبات کمی که در واکنش های زیستی گیاهی وجود دارند، در مسیرهای سولفاتیشن مسئول ایجاد سولفات فعال اند.

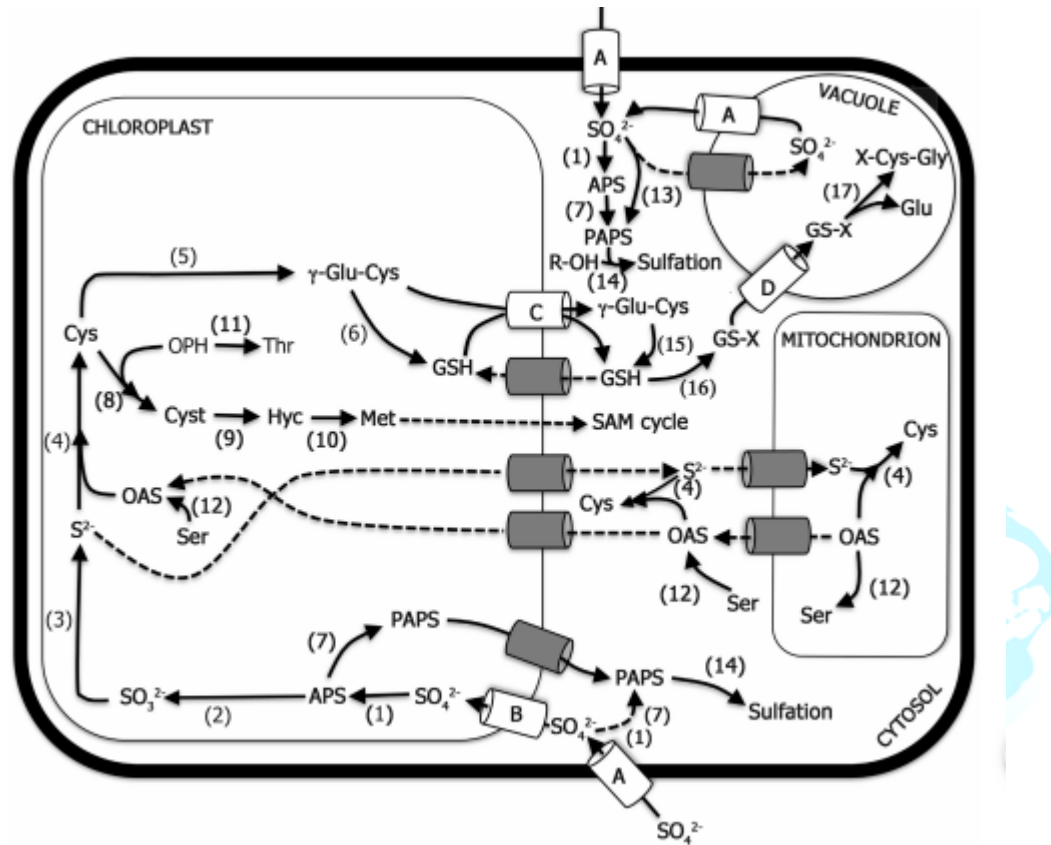
5.1 نیتروژن

تنظیم آسیمیلاسیون نیتروژن در گیاهان و جلبک ها در اکثر جنبه ها متفاوت است. در این بیشترین بحث مربوط به تنظیم مکانیسم آنزیم نیترات ردوکتاز سیتوزولی است که احیای درونی $-NO_3$ را به $-NO_2$ کاتالیز می کند. در اکثر موارد از NADH به عنوان دهنده ای الکترون استفاده می شود. در گیاهان و جلبک های نیترات ردوکتاز در سطح پروتئین و ژن تنظیم می شود. اگرچه در جلبک ها و گیاهان $-NO_3$ و نور در متابولویسم نیتروژن نقش اصلی را دارند. تنظیم بیان ژن نیترات ردوکتاز و فعالیت آنزیم در این دو گروه از ارگانیسم ها متفاوت است.

تنظیم ترجمه‌ی نیترات ردوکتاز در گیاهان تحت تاثیر فسفوریلاسیون برگشت پذیر مرتبط با پروتئین‌های 3-14 می باشد. در آرابیدوپسیس، پیوندهای 3-14 از طریق فسفوریلاسیون سرین-534 انجام می شود. این امر پیشنهاد می کند که فسفوریلاسیون حد بواسطه 3-14 وابسته به فتوسنترز، ATP سنتاز و احیای نیترات از طریق تغییر پروتئین‌ها و متابولیسم قندها می باشد. بررسی رفتارهای پنچه گرگ *Selaginella kraussiana* (که دارای نیترات ردوکتاز سیتوزولبی وابسته به NADH است) و خزه‌ی *Physcomitrella patens* (که نیترات ردوکتازش وابسته به NADH است)، پیشنهاد می کند که تنظیم نیترات ردوکتاز توسط فسفوریلاسیون، اولین بار در گیاهان آوندی ایجاد شد. اما احتمالا در در ارگانیسم‌های فتوسنتری غیر آوندی وجود نداشته است. باید توجه داشت که با این وجود، گزارش شده است که نیتروژن ردوکتاز توسط فسفوریلاسیون در جلبک قرمز *Gracilaria chilensis* تنظیم می شود. در کلامیدوموناس و احتمالا دیگر جلبک‌ها، محل فسفوریلاسیون که پروتئین 3-14 در آنجا عمل می کند در نیترات ردوکتاز، مشخص نیست. در *C. reinhardtii*، آنزیمی برای فسفوریلاسیون-دفسفریلاسیون وجود ندارد. و این امر تحت کنترل ردوکس روی مجموعه‌ی پلاستوکوئینون‌های گلروپلاستی می باشد. زمانی که پلاستوکوئینون‌ها کاهش یابند فعالیت نیترات ردوکتاز افزایش می یابد. این نکته جالب است که فعالیت نیترات ردوکتاز زمانی که زنجیره‌ی انتقال الکترون بیشتر اکسیده می شود، تحریک می شود. تنظیم ردوکس نیترات ردوکتاز در *C. reinhardtii* همچنین وابسته به حضور نیترات است. نیترات ردوکتاز در غیاب NO₃⁻ غیرفعال می شود و میتواند مجددا در حضور آن فعال شود. در شرایط آزمایشگاه بوسیله‌ی اکسیداسیون فری سیانید انجام می شود. این پیشنهاد می کند که مالیک دهیدورزناز پلاستیدی در تنظیم مصرف احیا کننده هابرات احیای نیترات از طریق شاتل مالات. اگرالواستات نقش دارد و بنابراین تنظیم مرحله‌ی ردوکس در گلروپلاست و سیتوزول انجام می شود.

در *Gracilaria tenuistipitata* تغییرات شباهه روز، افزایش نیترات ردوکتاز و فعالیت آن در چرخه‌ی نوری-تاریکی و باریتم متضاد مشاهده شده است. در حقیقت، نور به عنوان ساعت درونی برای سطح mRNA عمل می

کند. اگرچه در جنس مشابه یعنی *G. chilensis* این ساعت درونی وجود ندارد. در ساعت درونی بیان متناوب نیترات ردوکتاز و بیان آن نیز در گیاهان عالی تنظیم می شود.



شکل 2

TarjomeFa.Com

تنظیم غیر معمول برای نیترات ردوکتاز در *Heterosigma akashiwo* مشاهده شده است. در این راژیدوفیسین، ژن NAR1 برای نیترات ردوکتاز، حتی در غیاب نیتریت و حضور آمونیوم، بیان می شود. فعالیت نیترات ردوکتاز در حضور NH_4^+ هم در سیانوباكتری *Synechococcus* sp. UTEX 2380 و *Chattonella subsalsa* دارای یک دمین 2.2 هموگلوبینی اضافه در ناحیه نیترات ردوکتاز *H. akashiwo* و *Chattonella* شباهت زیادی به دمین 2.2 هموگلوبینی میتوکندری دارند. که به عنوان کاتایزور نبدیل NO_3^- به NO شناخته می شوند. پیشنهاد بر عملکرد دوگانه NO_3^- نیترات ردوکتاز است که قارد است NO به NO_3^- عمل کرده و هم به عنوان احیا کننده در آسیمیلاسیون NO_3^- نقش داشته باشد.

به نظر می رسد نیترات ردوکتاز در ژنهای استرین های سیانوباکتری *Prochlorococcus* وجود نداشته باشد. توزیع ژنهای نیترات محل توزیع آنها را نیز نشان می دهد. میزان بیشتر آنها در دریای کارائیب و اقیانوس هند وجود دارد. با توجه به این مطالعه، ژنهای نیترات ردوکتاز *Prochlorococcus* با رده بندی فیلوژنی مربوط به استرین های دریایی *Synechococcus* متفاوت است. در حقیقت، در این استرین ها، محل ژنوم ژنهای آسیمیلاسیون نیترات متفاوت است.

به طور کلی نیترات ردوکتاز گیاهی و جلبکی به لحاظ ساختاری و عملکردی شباهت زیادی دارد. در هر دو نیترات ردوکتاز در پلاستیدها ساخته شده و بیشترین فعالیت را دارد. نیترات ردوکتاز در استرومای پلاستید گیاهی و جلبک های یوکاریوت وجود دارد، به همین دلیل نیتریت توسط نیترات ردوکتاز سیتوزولی تولید می شود در غیراین صورت، از یک حد بواسطه گرفته شده و باید به پلاستید منتقل شود. ناقل با حساسیت بالای نیتریت در کلروپلاستهای جدا شده کشف شده اند. دو فرم ژن Nitr1 از *Cucumis sativa* به نام CsNitr1-S و CsNitr1-L کشف شده اند. پروتئین های تولید شده از این ژنهای در غشای درونی پلاستید قرار دارند. بیان غیرعادی CsNitr1-S در پلاسمالمای *Saccharomyces cerevisiae* موجب کاتالیز نیتریت در غلظت نیمه اشباع می شود.

تجمع نیتروژن در جهت شیب الکتریکی منفی انجام می شود که نشان از نقش انتقال فعال دارد. نقطه ای اتصال بین آسیمیلاسیون سولفات و نیترات در جلبک قرمز *Cyanidioschyzon merolae* مشاهده می شود. که موجب مهار اسیدهای قوی می شود. در این ارگانیسم، ژنوم نیتریت ردوکتازی (NiR) شناخته نشده است. با این حال، دو ژن مشابه سولفات ردوکتاز (SiR) وجود دارد و یکی از این ها شباهت نزدیکی با ژن نیترات ردوکتاز (NAR) وابسته دارد. شباهت میان NiR و SiR به خوبی شناخته شده است. اما در ارگانیسم های فتوسنتر کننده دو ژن متفاوت وجود دارد. بویژه SiR می تواند برای NO_2 با یک جهش سینگل افزایش یابد. و NiR هم عملکردی مشابه SiR در *Mycobacterium tuberculosis* نشان داد.

ژن SiR تولید شده از *C. merolae* در کلروپلاست ها زمانی که جلبک در حال رشد است در حضور نیترات و آمونیوم تجمع می یابد. بنابراین، عملکرد NiR معیوب و جهش یافته در سیانوباکتری *C. merolae* SiR مکمل

Leptolyngbya boryana می باشد. اختلاف زیادی در گلوتامین سنتتاز/گلوتامین-اگزوگلوتارات آمینوترانسферاز گیاهان و جلبک ها شناسایی نشده است. (GS/GOGAT)

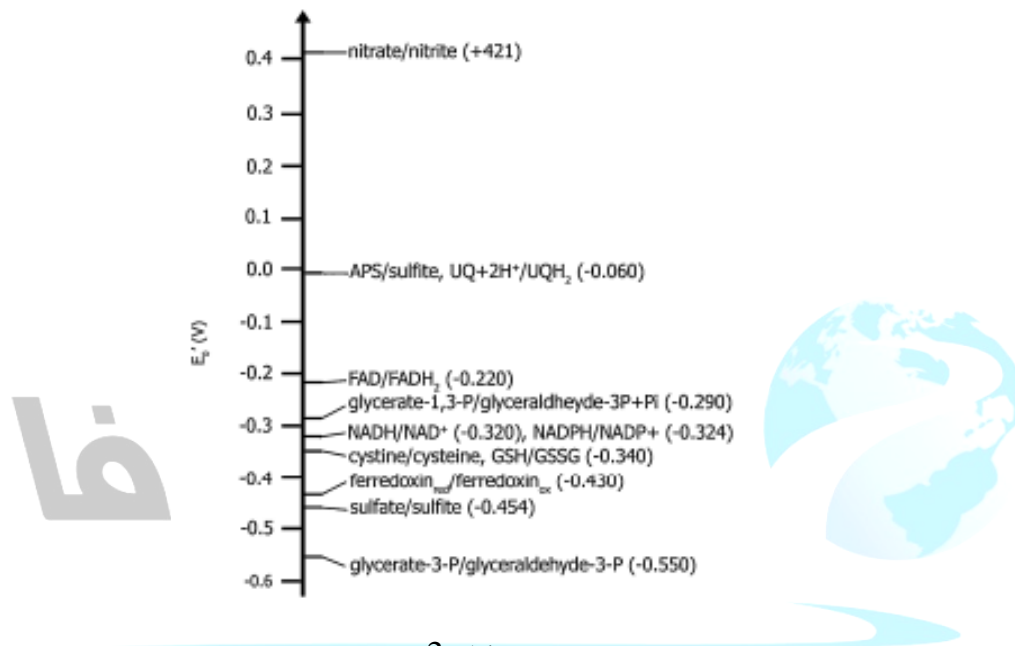
5.2. سولفور

در حالت کلی، گیاهان و جلبک ها اکثرا از سولفات به عنوان منبع سولفور استفاده می کنند. پتانسیل استاندارد احیا برای تبدیل سولفات به سولفیت -454mV است که به مرتب بیشتر از تبدیل نیترات به نیتریت است ($+421\text{mV}$). بنابراین احیای سولفات به سولفیت بیش از حد پتانسیل استاندارد احیای طبیعی است. به همین دلیل، در مقابله با نیترات، سولفات باید قبل از احیا فعال شود. فعال سازی موجب تشکیل آدنوزینوفسفوسولفات (APS) می شود. که این ترکیب ناخالص آنیدرید با فسفات و سولفات دارای پتانسیل ردوکس استاندارد در حدود -60mV است. که مورد استفاده ای تیول ها یا پیریمیدن به عنوان ناقل الکترون می باشد. وضعیت مشابه در چرخه ای کالوین اتفاق می افتد، جایی که پتانسیل ردوکس دو $3\text{-فسفوگلیسرات}/3\text{-فسفوگلیسرآلدئید}$ در شرایط -550mV عمل کرده و PGA با ATP برای تولید پتانسیل کمتر حد بواسطه که بتواند توسط NADPH احیا شود.

فعال سازی سولفات توسط ATP سولفوریلاز کاتالیز می شود. APS نقطه ای تفاوت در مسیر سولفاته شدن و آسیمیلاسیون سولفور است. در جلبک و گیاهان، احیای سولفات در ابتدا در پلاستیدها انجام می شود. که فقط یک استثنا برای آن شناخته شده است. در Euglena gracilis آسیمیلاسیون درون میتوکندری اتفاق می افتد.

مهمنترین تفاوت میان جلبک و گیاه احتمالا وجود مرحله ای کنترل در مسیر آسیمیلاسیون گوگرد است. در گیاهان، مرحله ای کلیدی در مسیر توسط APS ردوکتاز کاتالیز می شود. اخیرا در مطالعات انجام گرفته نشان داده شد که در اکثر جلبک ها، اولین مرحله در مسیر، توسط ATP سولفوریلاز کاتالیز می شود و ممکن است تحت کنترل ردوکس باشد. ردوکس قوی ترین محرك ATP سولفوریلاز در جلبک سبز، دیاتوم ها و سیانوباكتری جنس Synchococcus از طریق احیای عامل تیول و اثر برگشت پذیر ترکیبات اکسید شده ای تیولی می باشد. که مشابه آن در Amphidinium klebsii PCC6803 آبهای تازه گزارش نشده است. و Synechocystis

جالب است که ردوکس حساس ATP-Ses سولفوریلاز (ATP-Ses) در جلبک ها وابسته به تعداد و محل باقی مانده O_2 سیستئین در توالی پروتئین است. تعداد زیادی از سیستئین در ATP-Ses وجود دارد که در پاسخ به احیا/اکسید تیول فعال می شوند. ردوکس غیر حساس ATP سولفوریلاز آرابیدوپسیس و رودوفایتا فقط حاوی 2 سیستئین است. در Synechocystis PCC6803 4 سیستئین وجود دارد.



شکل 3.

در A. klebsii 5 تا از 6 سیستئین در توالی پروتئین ATP سولفوریلاز محل متفاوتی را در دیگر جلبک های بیکاربوبتی دارند. فیلوژنی ATP سولفوریلاز نشان داد که ژن های کد کننده O_2 این آنزیم ها در آرابیدوپسیس توالیشن کمی مشابه با جلبک هاست. به جز بخشی از ATP-S سولفوریلاز که APS و ATP-S کیناز را با یکدیگر ترکیب می کند که در ژنوم برخی هاپتوفیت ها و هتروکونتوفیت ها وجود دارد. که مدرک مهمی برای وجود شباهت با ژن های ATP سولفوریلاز آرابیدوپسیس است.

مراحل آسیمیلاسیون سولفور در جلبک ها خیلی شناخته شده نیست. برخی نشانه های بیوشیمیایی و اطلاعات ژنومی پیشنهاد می کنند که مثل گیاهان، سولفات در APS به سولفیت و توسط ردوکتاز احیا می شود.

فعالیت مهم و اساسی سولفات ردوکتاز موجب تولید سولفید می شود که به سیستئین متصل شده و اینکار توسط کمپلکس O-استیل سرین تیول لیاز / سرین استیل ترانسفراز (OASTL/SAT) انجام و توسط انها تنظیم می شود.

6. دریافت و سیگنال دهی

در گیاهان و جلبک ها، نیترات نقش سیگنال برای فعال سازی تعدادی از ژن های درگیر در جذب و آسیمیلاسیون خودش دارد. مشخص شده است که آغاز بیان ژن های وابسته به آسیمیلاسیون نیتروژن وابسته به نیترات درون سلولی است. بنابراین برخی از ناقلین نیترات (خصوصا سیستم I). برای این مسیر انتقال سیگنالی لازم است. و ممکن است به عنوان ناقل عمل کنند. مثلا سیسم بادی عملکرد ناقل و گیرنده باشد. NIT2 تنها ژن تنظیم کننده ای آسیمیلاسیون نیتروژن در یوکاریوت های فتوسنتر کننده ای است که از قبل می شناختیم. این پروتئین یک فاکتور رونویسی است که در غیاب نیترات افزایش می یابد و آمونیوم تنظیم کننده ای منفی آن است. (در آسیمیلاسیون نیتروژن وابسته به سیگنال نقش دارد). اگرچه تنظیم منفی آسیمیلاسیون نیترات توسط آمونیوم بخش های زیادی دارد. این موضوع نشان می دهد که NIT2 در جلبک قرمز ترمواسیدوفیل *Cyanidioschizon merolae* و آرابیدوپسیس وجود ندارد که موجب راه افتادن این بحث می شود که فاکتورهای رونویسی برای آسیمیلاسیون نیترات در ارگانیسم های فتوسنتر کننده وجود دارند. مثلا در *C. merolae* حدائق در محیط آزمایشگاه، CmMYB1 عضوی از خانواده ای فاکتورهای رونویسی میلوبلاستوسیست (MYB) است که قادر به اتصال با ناحیه ی پرومотор ژن های آسیمیلاسیون نیتروژن می باشد و ممکن است نقشی مشابه با NIT2 در کلامیدومonas داشته باشد.

همچنین نیترات نقش سیگنالی دارد. احتمالا در بازتاب مجموعه واکنش های متابولیسم نیتروژن با دیگر مسیرها نقش دارد. در آرابیدوپسیس بیش از 10 درصد ژنوم تحت کنترل کاهش مستقیم NO_3^- می باشند. و حدود 300 تا 600 ژن مستقیماً توسط NO_3^- تنظیم می شوند. سیگنالی که NO_3^- انتقال می دهد الزاماً برای تغییر در بیان ژن ندارد. تعدادی از فرایندهای حدواتسط NO_3^- در این میان تنظیم می شوند و اغلب با فسفویلاسیون و

دفسفريلاسيون و بدون تغيير در بيان پروتئوم اين کار انجام می شود. پاسخاي مشابه گرچه با تعداد کمتری پروتئين برای NH_4^+ مشاهده شده اند. همچنین miRNAs هدفي را برای NO_3^- به عنوان سيگナル ايجاد می کند. تعدادی از فرایندهای مورفوژنيک توسط NO_3^- در گیاهان خشکی زی شناسایي شده اند. مثالی از اين فرایند مکانيسم عملکرد ناقل NRT1.1 ريشه اي در آرابيدوپسيس تاليانا برای NO_3^- می باشد. اين ناقل می تواند دو - NO_3^- ريشه هاي اكسيين را متصل (و انتقال) کند. در کمترین غلظت NO_3^- ، ناقل AtNRT1.1 اكسيين را به NO_3^- و هومرون اكسيين را متصل (و انتقال) کند. خارج ريشه هاي جانبي منتقل می کند، زمانی که NO_3^- فراوان است، اكسيين در ريشه هاي جانبي تجمع يافته و رشد آنها را تسهيل می کند. AtNRT1.1 همچنین با ديگر ناقل NO_3^- ريشه اي يعني AtNRT2.1 برهم کنش دارد. که در غلظت هاي بالاي NO_3^- فعال می شود. همچنین AtNRT2.1 داراي دو نقش ناقل و سيگنالي است. رشد ريشه ها به حضور NO_3^- و قند وابسته است. شاييان ذكر است که بخلاف NRT1.1، عملکرد سيگنالي NRT2.1 وابسته به عمل ناقل NO_3^- است.

در جلبک ها نقش سيگنالي NO_3^- اكثرا در *C. reinhardtii* مطالعه شده است. در اين جلبک سيز NO_3^- متابوليسم و رشد (مثل گامتوزنزيز) را تنظيم می کند. نيترات و محصول تنظيمی ژن NIT2 در تنظيم تجمع ذخایر (کربوهيدارت هاو تري اسييل گليسروول ها) C allocation نقش دارند. اين عجيب نيسit که نيتروژن و کربن در سلولهای جلبکی چگالی بالايی دارند. در *C. reinhardtii* NH_4^+ که اكثرا نقش تنظيمی منفی بر ژن های آسيميلاسيون نيترات دارند توسط حدود واسط CDP1. يك پروتئين غنى از سيستئين و CYG56 يك - NO محرك گلوانيلات سيكلاز انجام می شود. سنتز چرخه GMP مرحله ي کليدي در دريافت NH_4^+ و زنجيره ي انتقال سيگنالي NH_4^+ است.

نيتريک اكسيد (NO) در تعدادی از پاسخهای فيزولوژيکی و رشدونموی گیاهان نقش دارند. در مقایسه با جانوران، برای گیاهان نيتريک اكسيد سنتازی شناسایي نشده است. سيستم های فرعی مختلفی به صورت اكسيداتيو(استفاده از آرژنین و هيدروكسيلامين) يا احیای نيترات عمل کنند. ممکن است نيتريک اكسيد در گیاهان تولید شود. در جلبک ها مسیرهای متنوعی برای تولید نيتريک اكسيد يافت شده است. نيتريک اكسيد سنتاز با شباهت حدود

45 درصد به نیتریک اکسید انسانی در جلبک سبز *O. tauri* شناسایی شده است. در کلامیدوموناس نیتریک اکسید از نیتریت در سیتوزول و توسط نیترات ردوکتاژ تولید می شود. سیستم های مشابهی برای گیاهان آوندی ذکر شده است. به دلیل اینکه نیتریک اکسید انتقال الکترون میتوکندری را مها رمی کند، زمانی که غلظت درون سلولی نیتریت بالا می رود، از برداشت ATP از زنجیره ای انتقال الکترون ممانعت می شود. AOX1 یکی از دو ژن AOX کد شونده برای اکسیدازهای فرعی میتوکندریایی است. که توسط نیترات تنظیم می شود و ممکن است موجب حفظ ATP سنتازها در غلظت های بالای نیتریت سلولی شود. در جلبک سبز کلرلا، پیشنهاد شده است که AOX در تولید نیتریک اکسید نقش دارد و بوسیله ای احیای نیتریت به نیتریک اکسید انجام می شود. در این ارگانیسم نیترات ردوکتاژ در تولید نیتریک اکسید نقشی ندارد.

اخیرا پیشنهاد شده است که اثر مهاری NH_4^+ روی بیان چندین ژن درگیر در آسیمیلاسیون نیتروژن در توسط نیتریک اکسید اتفاق می افتد. و این مکانیسم برگشت پذیر فعالیت نیتریت ردوکتاژ و سیستم های جذب با حساسیت بالای آمونیوم و نیترات/نیتریت را کنترل می کند. ظاهرا سلول کامل برای عمل این سیستم لازم است. که ممکن است در نتیجه ای آن اندامک های مختلف در مسیرهای انتقال سیگنالی نقش داشته باشد.

سولفات به عنوان فرایند موثر در کنار آسیمیلاسیون سولفات شناخته شده است. در این میان، مسیرهای متابولیت های ثانویه (سولفور و متابولیسم فلاونوئیدها)، متابولیسم نیتروژن به تنش اکسیداتیو، سنتز اکسین و جاسمونات پاسخ می دهند. در مورد آراییدوپسیس تالیانا، ناقل 1.2 SULTR1 در درک سولفات و احتمالا آغاز انتقال سیگنالهایی که موجب پاسخ وابسته به سولفور می شوند، نقش دارند. در جلبک سبز *C. reinhardtii*، درک سولفات بر اساس پروتئین SAC1 باند شده به غشا می باشد. که علاوه بر آن در بیان پروتئین وابسته به پاسخهای کمبود سولفور نیز نقش دارد. همچنین تنظیم کننده ای پایین دیگر ترکیبات نیز می باشد. به خصوص فتوسنتز برای افزایش سرعت آسیمیلاسیون سولفور. همچنین پروتئین کیناز SNRK2.1 نقش مهمی را در مسیر سیگنالی رو به پایین کمبود سولفور دارد. فعالیت SNRK2.1 بوسیله ای فعالیت دیگر کیناز SNRK2.2 مهار می شود که نقش

کنترل SNRK2 را دارد. در حقیقت SAC1 توسط SNRK2.2 کنترل می شود. مکانیسم درک و پاسخ به حضور سولفور در دیگر جلبک ها ناشناخته است.

در گیاهان، نقشی که برای سولفات است، مولکول سیگنانالی گازی یا ناقل گازی می باشد. که به آهستگی و با اعمالی همچون باز شدن روزنه، بیوژنزیز کلروپلاست و زمان جوانه زنی همراه است. در گیاهان H₂S برای واکنش با سیگنانال های نیتریک اکسید ظاهر می شود و در پاسخ به تنفس اکسیداتیو از طریق سطوح گلوتاتیون و تنظیم انزیم های مختلف نقش دارد. فرایندهای اساسی گیاه مثل باز شدن روزنه به طور گسترده ای تحت تاثیر H₂S می باشد که به عنوان ناقل گازی در گیاهان (و حتی در بیشتر جلبک ها) عمل می کند. عملکرد سیگنانالی نیز وابسته به پلی ساکاریدهای سولفات است. مثلاً مولکولی که در جلبک اولوا وجود دارد و شبیه فیتوهورون عمل کرده و بر بیان ژن Medicago sativa و آرابیدوپسیس اثر می گذارد. پلی ساکاریدهای سولفات در مسیرهای جاسمونات نقش دارند.

7. نتیجه گیری

- تغییرات زیاد در حضور نیتروژن و سولفور ممکن است در گیاه و جلبک اتفاق بیافتد. هتروژنتی در متابولیسم نیتروژن و سولفور ممکن است روی تنوع فیلوزنوتیکی آنها و شیمی اقیانوس اثر بگذارد.
- متابولیسم نیتروژن و سولفور در جلبک و گیاه مستقیماً تحت کنترل ردوکس است. این موضوع بخصوص در مورد مرحله اول مسیر صدق می کند. (مثلاً کاتالیز واکنش توسط نیترات ردوکتاز و ATP سولفوریلаз).
- مولکول هایی مثل NO₃⁻, S²⁻، NO₂ ترکیبات مهمی از سیستم های سیگنانالی سلولی است و در تلفیق متابولیسم و پاسخ به تغییرات محیطی نقش دارند.

References

Agostoni, M., Erdner, D.L., 2011. Analysis of ammonium transporter and urease gene expression in *Aureococcus* lagunensis. Harmful Algae 10, 549–556.

- Aguilar-Barajas, E., Díaz-Pérez, C., Ramírez-Díaz, M.I., Riveras-Rosas, H., Cervantes, C., 2011. Bacterial transport of sulfate, molybdate and related oxyanions. Biometals 24, 687–707.
- Allen, S., Smith, J.A.C., 1986. Ammonium nutrition in *Ricinus communis*: its effect on plant growth of the chemical composition in the whole plant, xylem and phloem saps. J. Exp. Bot. 37, 1599–1610.
- Allen, A.E., Vardi, A., Bowler, C., 2006. An ecological and evolutionary context for integrated nitrogen metabolism and related signaling pathways in marine diatoms. Curr. Opin. Plant Biol. 9, 264–273.
- Anbar, A.D., Knoll, A.H., 2002. Proterozoic ocean chemistry and evolution: a biogeochemical bridge? Science 297, 1137–1142.

- Anbar, A.D., Duan, Y., Lyons, T.W., Arnold, C.A., Kendall, B., Creaser, R.A., Kaufman, A.J., Gordon, G.W., Scott, C., Garvin, J., Buick, R., 2007. A whiff of oxygen before the Great Oxidation Event? *Science* 317, 1903–1906.
- Anderson, J.W., Done, J., 1978. Light-dependent assimilation of nitrite by isolated pea chloroplasts. *Plant Physiol.* 61, 693–697.
- Andrew, C.S., Kipps, E.H., Barford, H., 1952. Plant response to nitrogen and sulphur on a heavy clay soil from the Darling Downs, south-east Queensland. *Crop Pasture Sci.* 3, 111–124.
- Andrews, M., Raven, J.A., Lea, P.J., 2013. Do plants need nitrate? The mechanisms by which nitrogen form affects plants. *Ann. Appl. Biol.* 163, 174–199, <http://dx.doi.org/10.1111/aab.12045>.
- Andrews, M., Lea, P.J., Raven, J.A., Azevedo, R.A., 2009. Nitrogen use efficiency. 3. Photon and water costs of N₂ fixation. *Ann. Appl. Biol.* 155, 1–13, <http://dx.doi.org/10.1111/j.1744-7348.2009.00338.x>.
- Andrews, M., Maule, H.G., Raven, J.A., Misra, A., 2005. Extension growth of *Laminaria hyperborea* at low irradiances: importance of nitrate and potassium accumulation. *Aquat. Bot.* 95, 641–655.
- Aquino, R.S., Landeira-Fernandez, A.M., Valente, A.P., Andrade, L.E., Mourao, P.A.S., 2005. Occurrence of sulphated galactans in marine angiosperms: evolutionary implications. *Glycobiology* 15, 11–20.
- Arad, S., Levy-Ontman, O., 2010. Red macroalgal cell wall polysaccharides: biotechnological aspects. *Curr. Opin. Biotechnol.* 21, 358–364.
- Asael, D., Tissot, F.H., Reinhard, C.T., Rouxel, O., Dauphas, N., Lyons, T.W., Ponzevera, E., Liorzou, C., Cheron, S., 2013. Coupled molybdenum, iron and uranium stable isotopes as oceanic paleoceanic proxies during the Paleoproterozoic Shunga Event. *Chem. Geol.* 362, 193–210.
- Bekker, I.A., Syrett, P.J., 1977. Urea-degrading enzymes in algae. *Br. Phycol. J.* 12, 137–143.
- Bekker, A., Holland, H.D., 2012. Oxygen overshoot and recovery during the early Paleoproterozoic. *Earth Planet. Sci. Lett.* 318, 295–304.
- Bekker, A., Katha, J.A., Erikson, K.A., Kaufman, A.J., 2003. Chemostratigraphy of Paleoproterozoic carbonaceous successions of the Wyoming Craton: tectonic forcing of biogeochemical change? *Precambrian Res.* 129, 279–325.
- Bekker, A., Holland, H.D., Wang, P.-L., Rumble, H.I., Stein, H.J., Hannah, J.L., Coetzee, L.L., Brink, N.J., 2004. Dating the rise of atmospheric oxygen. *Nature* 427, 117–120.
- Berger, J., Schager, I.M., 2004. Allelopathic activity of Characeae. *Biologia. Bratislava* 58, 9–15.
- Berger, J., 1997. Algal nitrate reductase. *Eur. J. Phycol.* 32, 3–8.
- Bocheneck, M., Etherington, G.J., Kopriova, A., Mugford, S.T., Bell, T.G., Malin, G., Koprieva, S., 2013. Transcriptome analysis of the sulphate deficiency response in the marine microalga *Emiliania huxleyi*. *New Phytol.* 199, 650–662, <http://dx.doi.org/10.1111/nph.12303>.
- Bouguen, E., Gojon, A., Naury, P., 2012. Nitrate sensing and signaling in plants. *Semin. Cell. Dev. Biol.* 23, 648–654, <http://dx.doi.org/10.1016/j.semcdb.2012.01.004>.
- Bowler, C., Allen, A.E., Badge, J.H., et al., 2008. The *Phaeodactylum* genome reveals the evolutionary history of diatom genomes. *Nature* 456, 239–244.
- Bowler, C., Vardi, A., Allen, A.E., 2010. Oceanographic and biogeochemical insights from diatom genomes. *Annu. Rev. Mar. Sci.* 2, 333–385.
- Bragg, J.C., Quigg, A., Raven, J.A., Wagner, A., 2012. Nutrient elemental sparing and cation usage bias are correlated among bacteria. *Molecular Ecology* 21, 2480–2487.
- Broadley, M.R., Bowen, M.C., Cotterill, H.L., Hammond, J.P., Meacher, M.C., Mead, A., White, P.J., 2004. Phylogenetic variation in the short mineral concentration of angiosperms. *J. Exp. Bot.* 55, 321–336.
- Britto, D.T., Kronzucker, H.K., 2006. Furtile cycling at the plasma membrane: a hallmark of low-affinity nutrient transport. *Trends Plant Sci.* 11, 529–534.
- Bromley, M.A., Hoefgen, R., Hesse, H., 2013. Phylogenetic aspects of the sulfate assimilation genes from *Thaumatococcus denticulatus*. *Amino Acids* 44, 1253–1265, <http://dx.doi.org/10.1007/s00122-013-1482-8>.
- Brunswick, P., Creswell, C.S., 1988. Nitrite uptake into intact pea chloroplasts. I. Kinetics and relationship with nitrite assimilation. *Plant Physiol.* 86, 378–383.
- Busiguy, V., Lebeau, O., Ader, M., Krapez, B., Bekker, A., 2013. Nitrogen cycle in the late Archaean ferruginous ocean. *Chem. Geol.* 382, 115–130.
- Buchner, P., Takahashi, H., Hawkesford, M.J., 2004. Plant sulphate transporters: coordination of uptake, intracellular and long-distance transport. *J. Exp. Bot.* 55, 1765–1773.
- Callon, O., Bulte, L., Kurata, R., Olive, J., Wollman, F.A., 1993. Extensive accumulation of an extracellular L-amino acid oxidase during gametogenesis of *Chlamydomonas reinhardtii*. *Eur. J. Biochem.* 215, 351–360.
- Cambridge, M.L., Fraser, M.W., Holmer, M., Kao, J., Kendrick, G.A., 2012. Hydrogen sulfide intrusion from Shark Bay, Western Australia. *Mar. Freshwater Res.* 63, 1027–1038.
- Canfield, D.E., 1998. A new model for Proterozoic ocean chemistry. *Nature* 396, 450–453.
- Canfield, D.E., 2004. The evolution of the Earth surface sulfur reservoir. *Am. J. Sci.* 304, 839–861.
- Chow, F., Cabral de Oliveira, M., 2008. Rapid and slow modulation of nitrate reductase activity in the red macroalga *Gracilaria chilensis* (Gracilariales, Rhodophyta): influence of different nitrogen sources. *J. Appl. Phycol.* 20, 775–782.
- Chow, F., de Oliveira, M.C., Pedersen, M., 2004. In vitro assay and light regulation of nitrate reductase in red alga *Gracilaria chilensis*. *J. Plant Physiol.* 161, 769–776.
- Cooper, R.M., Williams, J.S., 2004. Elemental sulfur as an induced antifungal substance in plant defence. *J. Exp. Bot.* 55, 1947–1953.
- Coskun, D., Britto, D.T., Mingyuan, L., Becker, A., Kronzucker, H.J., 2013. Rapid ammonia gas transport accounts for futile transmembrane cycling under NH₃/NH₄⁺ toxicity in plant roots. *Plant Physiol.* 163, 1859–1867.
- Coyne, K.J., 2010. Nitrate reductase (NR1) sequence and expression in the harmful alga *Heterosigma akashiwo* (Raphidophyceae). *J. Phycol.* 46, 135–142.
- Crawford, N.M., Glass, A.D.M., 1998. Molecular and physiological aspects of nitrate uptake in plants. *Trends Plant Sci.* 3, 389–393.
- Cuevasanta, E., Denicola, A., Alvarez, B., Möller, M.N., 2012. Solubility and permeation of hydrogen sulfide in lipid membranes. *PLoS One* 7 (4), e34512.
- Czyzewska, B.K., Wang, D.N., 2012. Identification and characterization of a bacterial hydroxylphosphate ion channel. *Nature* 483, 494–497.
- Dagostad, D., Lien, T., Knutieb, G., 1981. Degradation and compartmentalization of urea in *Chlamydomonas reinhardtii*. *Arch. Microbiol.* 129, 261–264.
- de Hostos, E.L., Schilling, J., Grossman, A.R., 1989. Structure and expression of the gene encoding the plasma membrane arylsulfatase of *Chlamydomonas reinhardtii*. *Mol. Gen. Genet.* 218, 229–239.
- de Montaigu, A., Sanz-Lugue, E., Marca, M.I., Galvan, A., Fernandez, E., 2011. Transcriptional regulation of CLIP1 and CYG56 is required for proper NH₄⁺ sensing in *Chlamydomonas*. *J. Exp. Bot.* 62, 1425–1437.
- Deneille, E., Perez, C., Rombaute, S., et al., 2006. Genome analysis of the smallest free-living eukaryote *Chlamydomonas* reveals many unique features. *Proc. Natl. Acad. Sci. USA* 103, 11047–11052.
- Dosley, F.D., Nar, S.P., Ward, P.J., 2013. Increased growth and germination success in plants following hydrogen sulfide administration. *PLoS One* 8, e62048.
- Duarte, C.M., Chiscano, C.L., 1999. Seagrass biomass and production: a review. *Aquat. Bot.* 65, 155–174.
- Dyrham, S.T., Anderson, B.M., 2003. Urease activity in cultures and field populations of the toxic dinoflagellate *Lanioa. Limnol. Oceanogr.* 48, 643–655.
- Elder, J.J., Hassett, R.P., 1994. A stoichiometric analysis of the phytoplankton–phytoplankton interaction in marine and freshwater ecosystems. *Nature* 370, 211–213.
- Elder, J.J., Bracken, E.E., Harpole, W.S., Hillebrand, H., Ngai, J.T., Sealeham, W.F., Shurin, J.B., Smith, J.E., 2007. Global analysis of nitrogen and phosphorus limitation of primary producers in freshwater, marine and terrestrial ecosystems. *Ecol. Lett.* 10, 1135–1142.
- Engelsberger, W.R., Schulz, W.X., 2012. Nitrate and ammonium lead to distinct global dynamic phosphorylation patterns when resupplied to nitrogen starved *Arabidopsis* seedlings. *Plant J.* 69, 778–795.
- Ermakova, E.V., Nikitin, M.M., Lapina, T.V., Zautskaya, Z.M., 2004. Chemosynthetic behaviour of *Chlamydomonas reinhardtii* is altered during gametogenesis. *Curr. Microbiol.* 48, 261–264.
- Faria, E.H.C., Pomin, V.H., Valente, A.P., Nader, H.B., Rocha, H.A.O., Neuran, P.A.S., 2008. A predominantly 4-sulfated 3-linked galactan from the green alga *Cladophora ulicularis*. *Glycobiology* 18, 250–259.
- Falcão, V.F., Oliveira, M.C., Coleopinto, P., 2010. Molecular characterization of nitrate reductase gene and its expression in the marine red alga *Gracilaria tikvahiae* (*Rhizophyta*). *J. Appl. Phycol.* 22, 813–822.
- Falkowski, P.G., 1997. Evolution of the nitrogen cycle and its influence on the biological sequestration of CO₂ in the ocean. *Nature* 387, 272–275.
- Falkowski, P.G., Raven, J.A., 2007. *Aquatic Photosynthesis*, 2nd edition. Princeton University Press, Princeton, pp. xiii + 484.
- Fernandez, E., Llamas, A., Galván, A., 2009. Nitrogen assimilation and its regulation. In: Stein, B.B., Harris, E.H. (Eds.), *The Chlamydomonas source book*, vol. 2, second ed. Elsevier, Amsterdam, pp. 81–111.
- Feld, C.B., Behrenfeld, M.J., Kand蓮en, J.T., Falkowski, P., 1998. Primary Production of the Biosphere: Integrating Terrestrial and Oceanic Components. *Science* 281, 237–240.
- Flynn, K.J., Blackford, J.C., Baird, M.E., Raven, J.A., Clark, D.E., Beardall, J., Brownlee, C., Fabian, H., Wheeler, G.L., 2012. Changes in pH at the exterior surface of plankton with ocean acidification. *Nat. Clim. Change* 2, 505–511.
- Fonseca, B.G., 2000. Nitrate transporters in plants: structure, function and regulation. *Biochem. Biophys. Acta* 1495, 649–655.
- Fonseca, N., Cunha-Araguenda, N., Parisi, G., Calo, G., Salerno, G., Lamantana, L., 2010. Characterization of a nitric oxide synthase from the plant kingdom: NO generation from the green alga *Obetococcus tauri* is light irradiance and growth phase dependent. *Plant Cell* 22, 1816–1830.
- Fennrich, A., Duran, J., 2011. The hunt for plant nitric oxide synthase (NOS): is one really needed? *Plant Sci.* 181, 403–404.
- Fry, B., Scalay, R.S., Winters, J.K., Parker, P.L., 1982. Sulphur uptake by salt grasses, mangroves, and seagrasses in anaerobic sediments. *Geochim. Cosmochim. Acta* 46, 1123–1124.
- Galván, A., Quesada, A., Fernández, E., 1996. Nitrate and nitrite are transported by different specific transport systems and by a bispecific transporter in *Chlamydomonas reinhardtii*. *J. Biol. Chem.* 271, 2088–2092.
- García-García, J.D., Olin-Sandoval, V., Saavedra, E., Girard, L., Hernández, G., Moreno-Sánchez, R., 2012. Sulfate uptake in photosynthetic *Euglena gracilis*: Mechanisms of regulation and contribution to cysteine homeostasis. *Biochim. Biophys. Acta* 1820, 1567–1575.
- García-Sánchez, M.J., Jaime, M.P., Ramos, A., Sanders, D., Fernandez, J.A., 2000. Sodium-dependent nitrate transport at the plasma membrane of leaf cells of the marine higher plant *Zostera marina*. *Plant Physiol.* 122, 879–885.
- Gattuso, J.-P., Frankignoulle, M., Wollast, R., 1998. Carbon and carbonate metabolism in coastal aquatic ecosystems. *Annu. Rev. Ecol. Syst.* 29, 405–434.
- Gill, B.C., Lyons, T.W., Saltzman, M.R., 2007. Parallel, high-resolution carbon and sulfur isotope records of the evolving Paleozoic marine sulfur reservoir. *Paleogeography, Palaeoclimatology, Palaeoecol.* 256, 156–173.
- Gill, B.C., Lyons, T.W., Young, S., Kump, L., Knoll, A.H., Saltzman, M.R., 2011. Geochemical evidence for widespread euxinia in the later Cambrian ocean. *Nature* 469, 80–83.
- Gilleadeau, G.J., Kah, L.C., 2013. Oceanic molybdenum drawdown by epeiric sea expansion in the Mesoproterozoic. *Chem. Geol.* 356, 21–37.
- Giordano, M., 2013. Homeostasis: an underestimated focal point of ecology and evolution. *Plant Sci.* 211, 92–101, <http://dx.doi.org/10.1016/j.plantsci.2013.07.008>.
- Giordano, M., Beardall, J., Raven, J.A., 2005a. CO₂ concentrating mechanisms in algae: mechanisms, environmental modulation and evolution. *Ann. Rev. Plant Biol.* 56, 99–131, <http://dx.doi.org/10.1146/annurev.arplant.56.032604.144052>.

- Giordano, M., Chen, Y.N., Koblizek, M., Falkowski, P.G., 2005b. Regulation of nitrate reductase in *Chlamydomonas reinhardtii* by the redox state of the plastoquinone pool. *Eur. J. Phycol.* 40, 345–352, <http://dx.doi.org/10.1080/09670260500334263>.
- Giordano, M., Norici, A., Hell, R., 2005c. Sulfur and phytoplankton: acquisition, metabolism and impact on the environment. *New Phytol.* 166 (2), 371–382, <http://dx.doi.org/10.1111/j.1469-8137.2005.01335.x>.
- Giordano, M., Pezzoni, V., Hell, R., 2000. Strategies for the allocation of resources under sulfur limitation in the green alga *Dunaliella salina*. *Plant Physiol.* 124, 857–864.
- Giordano, M., Prioretti, L., 2014. Sulphur and algae: metabolism, ecology and evolution. In: Borowitzka, M.A., Beardall, J., Raven, J.A. (Eds.), *The Physiology of Microalgae*. Springer, Dordrecht, The Netherlands (in press).
- Gojon, A., Krook, G., Perrine-Walker, F., Laugier, E., 2011. Nitrate transceptor(s) in plants. *J. Exp. Bot.* 62, 2299–2308.
- Gonzalez-Ballester, D., Grossman, A.R., 2009. Sulphur: from acquisition to assimilation. In: Stern, D.B., Harris, E.H. (Eds.), *The Chlamydomonas Source Book*, vol. 2, second ed. Elsevier, Amsterdam, pp. 69–113.
- Goss, R., Wilhelm, C., 2010. Lipids in algae, lichens and mosses. In: Watai, H., Murata, M. (Eds.), *Lipids in Photosynthesis. Advances in Photosynthesis and Respiration*, vol. 30, p. 117.
- Goss, R., Nerlich, J., Lepetit, B., Schaller, S., Vieler, A., Wilhelm, C., 2009. The lipid dependence of diadinoxanthin de-epoxidation presents new evidence for a macrodomain organization of the diatom thylakoid membrane. *J. Plant Physiol.* 166, 1839–1854.
- Habicht, K.S., Gade, M., Thamdrup, B., Berg, P., Canfield, D.E., 2002. Calibration of sulfate levels in the Archean ocean. *Science* 298, 2372–2374.
- Hagelauerken, C., Adams, T.M., Wielhalm, L., Widow, U., Kolmar, H., Tuerkammer, B., Heinz, D.W., Schubert, W.-D., 2006. The crystal structure of SdxA1, an alkylsulfatase from *Pseudomonas aeruginosa*, defines a third class of sulfatases. *Proc. Acad. Sci. U.S.A.* 103, 7631–7636.
- Handley, L.L., Raven, J.A., 1992. The use of natural abundance of nitrogen isotopes in plant physiology and ecology. *Plant Cell Environ.* 15, 965–985.
- Hell, R., Hildebrand, H., 2001. Plant concepts for mineral acquisition and allocation. *Curr. Opin. Biotechnol.* 12, 161–168.
- Hildebrand, M., 2005. Cloning and functional characterization of ammonium transporters from the marine diatom *Cylindrotheca fusiformis* (Bacillariophyceae). *J. Phycol.* 41, 105–113.
- Hockin, N.L., Mock, T., Mulholland, F., Kopriva, S., Malin, G., 2012. The response of diatom central carbon metabolism to nitrogen starvation is different from that of green algae and higher plants. *Plant Physiol.* 158, 299–312.
- Hoffmann, R., Bisson, M.A., 1990. Choru buckellii, a charophyte from an unusual saline environment. *Plant Physiol.* 93, 123–127.
- Horita, J., Zimmermann, H., Holland, H.D., 2002. Chemical evolution of seawater during the Phanerozoic: implications from the record of marine evaporites. *Geochim. Cosmochim. Acta* 66, 3733–3756.
- Holmer, M., Storkholm, P., 2001. Sulfate reduction and sulfur cycling in lake sediments: a review. *Freshwater Biology* 46, 431–451.
- Huang, N.C., Liu, K.H., Lo, H.J., Tsay, Y.F., 1999. Cloning and functional characterization of an *Arabidopsis* nitrate transporter gene that encodes a constitutive component of low-affinity uptake. *Plant Cell* 11, 1381–1392.
- Huppe, H.C., Turpin, D.H., 1994. Integration of carbon and nitrogen metabolism in plant and algal cells. *Annu. Rev. Plant Physiol. Plant Mol. Biol.* 45, 577–607.
- Imamura, S., Kaneko, Y., Ohnuma, M., Inouye, T., Sekine, Y., Fujiwara, T., et al., 2009. R2R3-type MYB transcription factor, CmMYB1, is a central nitrogen assimilation regulator in *Cymodictyon merolae*. *Proc. Nat. Acad. Sci. U.S.A.* 106, 12548–12553.
- Imamura, S., Terashita, M., Ohnuma, M., Maruyama, S., Minoda, A., Weber, A.P.M., Inouye, T., Sekine, Y., Fujita, Y., Omata, T., Tanaka, K., 2010. Nitrate assimulatory genes and their transcriptional regulation in a unicellular red alga *Cymodictyon merolae*: genetic evidence for nitrite reduction by a sulfite reductase-like enzyme. *Plant Cell Physiol.* 51 (5), 707–717, <http://dx.doi.org/10.1093/pcp/pcq043>.
- Jaulneau, V., Lafitte, C., Jacquet, C., Fournier, S., Salamagne, S., Briand, X., Esquerre-Tugayé, M.-Y., Dumas, B., 2010. Ulvan, a sulphated polysaccharide from green algae, activates plant immunity through the jasmonic acid signaling pathway. *J. Biomed. Biotechnol.* <http://dx.doi.org/10.1155/2010/52591> (Article ID 52591), 11 pages.
- Johnson, D.W., 1984. Sulfur cycling in forests. *Biogeochemistry* 1, 29–43.
- Jones, M.R., Leith, I.D., Fowler, D., Raven, J.A., Sutton, M.A., Nemitz, E., Cape, J.N., Sheppard, L.J., Smith, R.I., Theobald, M.R., 2007a. Concentration-dependent NH₃ deposition processes for mixed moorland semi-natural vegetation. *Atmos. Environ.* 41, 2049–2060.
- Jones, M.R., Leith, I.D., Fowler, D., Raven, J.A., Sutton, M.A., Nemitz, E., Cape, J.N., Sheppard, L.J., Smith, R.I., 2007b. Concentration-dependent NH₃ deposition processes for stomatal and non-stomatal moorland species. *Atmos. Environ.* 41, 8980–8994.
- Kanamaru, K., Wang, R., Su, W., Crawford, N.M., 1999. Ser-534 in the hinge region 1 of *Archidipteris* nitrate reductase is conditionally required for the binding of 14-3-3 proteins and the *in vitro* inhibition of NR. *J. Biol. Chem.* 274, 4160–4165.
- Kah, L.C., Lyons, T.W., Frank, T.D., 2004. Low marine sulphate and protracted oxygenation of the Proterozoic biosphere. *Nature* 431, 834–838.
- Kahnert, A., Kertesz, M.A., 2000. Characterization of a sulphur-regulated oxygenative alkylsulfatase from *Planctomycetes purificans* S-313. *J. Biol. Chem.* 275, 31661–31667.
- Kataoka, T., Watanabe-Takahashi, A., Hayashi, N., Ohnishi, M., Mimura, T., Buchner, P., Hawkesford, M.J., Yamaya, T., Takahashi, H., 2004. Vacuolar sulfate transporters are essential determinants controlling internal distribution of sulfate in *Arabidopsis*. *Plant Cell* 16, 2693–2704.
- Keller, M.D., Kiene, R.P., Matrai, P.A., Bellows, W.K., 1999. Production of glycine betaine and dimethylsulfoniopropionate in marine phytoplankton II. N-limited chemostat cultures. *Marine Biology* 135, 249–257.
- Kertesz, M.A., 2000. Riding the sulfur cycle—metabolism of sulfonates and sulfate esters in Gram-negative bacteria. *FEMS Microbiol. Rev.* 24, 115–175.
- Kirk, D.L., Kirk, M.M., 1978. Carrier-mediated uptake of arginine and urea by *Chlamydomonas reinhardtii*. *Plant Physiol.* 61, 556–560.
- Kobayashi, M., Rodriguez, R., Lam, C., Omata, T., 1997. Involvement of the C-terminal domain of an ATP-binding subunit in the regulation of the ABC-type nitrate/nitrite transporter of the cyanobacterium *Synechococcus* sp. Strain PCC 7942. *J. Biol. Chem.* 272, 27197–27201.
- Kojima, S., Bohner, A., von Wirén, N., 2007a. Molecular mechanism of urea transport in plants. *J. Membr. Biol.* 212, 83–91.
- Kojima, S., Bohner, A., Gasser, B., Yuan, L., von Wirén, N., 2007b. AtDUR3 represents the major transporter for high-affinity urea transport across the plasma membrane of nitrogen-deficient *Arabidopsis* roots. *Plant J.* 52L, 30–40.
- Kopriva, S., Mugford, S.G., Barancka, P., Lee, B.-R., Maltewham, C.A., Koprivova, A., 2012. Control of sulfur partitioning between primary and secondary metabolism in *Arabidopsis*. *Front. Plant Sci.* 3, 163, <http://dx.doi.org/10.3389/fpls.2012.00163>.
- Koprivova, A., Giovannetti, M., Baraniecka, P., Lee, B.-R., Grondin, C., Louard, O., Kopriva, S., 2013. Natural variation in the ATP1 isoform of ATP sulfurylase contributes to the control of sulfate levels in *Arabidopsis*. *Plant Physiol.* 163, 1–9.
- Kotur, Z., Siddiqi, Y.M., Glass, A.D.M., 2013. Characterization of nitrite uptake by *Arabidopsis thaliana*: evidence for a nitrite-specific transporter. *New Phytol.* 200, 201–210, <http://dx.doi.org/10.1111/nph.12358>.
- Kronzucker, H.J., Britto, D.T., Davenport, R.J., Tester, M., 2001. Ammonium toxicity and the real cost of transport. *Trends Plant Sci.* 6, 336–337.
- Kroulik, G., Mirowski, P., LeCun, Y., Shasha, D.E., Coruzzi, G.M., 2010a. Predictive network modeling of the high resolution dynamic plant transcriptome in response to nitrate. *Genome Biol.* 11, R123.
- Kroulik, G., Crawford, N.M., Coruzzi, G.M., Tsay, Y.F., 2010b. Nitrate signaling: adaptation to fluctuating environments. *Curr. Opin. Plant Biol.* 13, 266–273.
- Lamers, L.P.M., Govers, L.L., Janssen, I.C.J.M., Geurts, J.J.M., Van der Welle, M.E.W., Van Katwijk, M.M., Van der Heide, T., Roelofs, J.G.M., Smolders, A.J.P., 2013. Sulfide as a soil phytotoxin—a review. *Front. Plant Sci.* 4 (article 268).
- Lambeck, I.C., Fischer-Schrader, K., Niks, D., Roepel, J., Chi, J.-C., Hille, R., Schwarz, G., 2012. Molecular mechanisms of 14-3-3 protein-mediated inhibition of plant nitrate reductase. *J. Biol. Chem.* 287, 4562–4571.
- Lamberts, H., Raven, J.A., Shaver, G.R., Smith, S.E., 2008. Plant nutrient-acquisition strategies change with soil age. *Trends Ecol. Evol.* 23, 95–103, <http://dx.doi.org/10.1016/j.tree.2007.10.008>.
- Laudenbach, D.E., Grossman, A.R., 1991. Characterization and mutagenesis of sulphur-regulated genes in a cyanobacterium: evidence for function in sulphate transport. *J. Bacteriol.* 173, 2739–2750.
- Leftley, J.W., Syrett, P.J., 1973. Urease and ATP: urea amidolyase in unicellular algae. *J. Gen. Microbiol.* 77, 109–115.
- Leran, S., Varala, K., Boyer, J.C., Chiarazzi, M., Crawford, N., Daniel-Vedele, F., David, L., Dickstein, R., Fernandez, E., Forde, B., Gassmann, W., Geiger, D., Gojon, A., Gong, J.-M., Halliker, B.A., Harris, J.M., Hedrich, R., Limami, A.M., Rentsch, D., Seo, M., Tsay, Y.F., Zhang, M., Coruzzi, G., Lacombe, B., 2014. A unified nomenclature of NITRATE TRANSPORTER 1/PEPTIDE TRANSPORTER family members in plants. *Trends Plant Sci.* 19, 5–9.
- Lillo, C., Meyer, C., Ruoff, P., 2001. The nitrate reductase circadian system. The central clock dogma contra multiple oscillatory feedback loops. *Plant Physiol.* 125, 1554–1557.
- Lindberg, P., Melis, A., 2008. The chloroplast sulfate transport system in the green alga *Chlamydomonas reinhardtii*. *Planta* 228, 951–961.
- Lisjak, M., Teklic, T., Wilson, I.D., Whiteman, M., Hancock, J.T., 2013. Hydrogen sulfide: environmental factor or signalling molecule? *Plant Cell Environ.* 36, 1607–1618.
- Liu, K.H., Tsay, Y.F., 2003. Switching between the two action modes of the dual-affinity nitrate transporter CH1 by phosphorylation. *EMBO J.* 22, 1005–1013.
- Liu, L.-H., Ludewig, U., Frommer, W.B., von Wirén, N., 2003. AtDUR3 encodes a new type of high-affinity urea/H⁺ symporter in *Arabidopsis*. *Plant Cell* 15, 790–800.
- Lopez-Lozano, A., Diez, J., El Aloui, S., Moreno-Vivian, C., Garcia-Fernandez, J.M., 2002. Nitrate is reduced by heterotrophic bacteria but not transferred to *Prochlorococcus* in non-axenic cultures. *FEMS Microbiol. Ecol.* 41, 151–160.
- Luo, G.M., Kump, L.R., Wang, Y.B., Tong, J.N., Arthur, M.A., Yang, H., Huang, J.H., Yin, H.F., Xie, S.C., 2010. Isotopic evidence for an anomalously low oceanic sulfate concentration following end-Permian mass extinction. *Earth Planetary Sci. Lett.* 300, 101–111.
- Maberly, S.C., King, L., Dent, M.M., Jones, R.L., Gibson, C.E., 2002. Nutrient limitation of phytoplankton and periphyton growth in upland lakes. *Freshwater Biol.* 47, 2136–2152.
- Mackintosh, C., 2004. Dynamic interactions between 14-3-3-proteins and phosphoproteins regulate diverse cellular processes. *Biochem. J.* 381, 329–342.
- Mariscal, V., Moulin, P., Orsel, M., Miller, A.J., Fernandez, E., Galvan, A., 2006. Differential regulation of *Chlamydomonas* Nar1 gene family by carbon and nitrogen. *Proteist* 157, 421–433.
- Martin, A.P., Condon, D.J., Prave, A.R., Melezhik, V.A., Lepland, A., Fallackson, A.E., 2013. Dating the termination of the Paleoproterozoic Lomagundi-Jatuli carbon isotope Event in the North Transfennoscandian Greenstone Belt. *Precambrian Res.* 224, 160–168.

- Martinosa, E., Maeshima, M., Neuhaus, H.E., 2007. Vacuolar transporters and their essential role in plant metabolism. *J. Exp. Bot.* 58, 83–102.
- Martiny, A.C., Kathuria, S., Berube, P.M., 2009. Widespread metabolic potential for nitrite and nitrate assimilation among *Prochlorococcus* ecotypes. *Proc. Nat. Acad. Sci. U.S.A.* 106, 10787–10792.
- Maruyama-Nakashita, A., Inoue, E., Watanabe-Takahashi, A., Yamaya, T., Takahashi, H., 2003. Transcriptome profiling of sulfur-responsive genes in *Arabidopsis* reveals global effects of sulfur nutrition on multiple metabolic pathways. *Plant Physiol.* 132, 597–605.
- Masclaux-Daubresse, C., Daniel-Vedele, F., Dechorganat, J., Chardon, F., Gaufichon, L., Suzuki, A., 2010. Nitrogen uptake, assimilation and remobilization in plants: challenges for sustainable and productive agriculture. *Ann. Bot.* 105, 1141–1157. <http://dx.doi.org/10.1093/aob/mcq028>.
- McClintock, M., Higginbotham, N., Uribe, E.G., Cleland, K.E., 1982. Active, irreversible accumulation of extreme levels of H_2SO_4 in the brown alga *Desmarestia*. *Plant Physiol.* 70, 773–774.
- McDonald, S.M., Plant, J.N., Warden, A.Z., 2010. The mixed lineage nature of nitrogen transport and assimilation in marine eukaryotic phytoplankton: a case study of *Meromimon*. *Mol. Biol. Evol.* 27, 2268–2283.
- Melis, A., Chen, H.-C., 2005. Chloroplast sulfate transport in green algae—genes, proteins and effects. *Photosynth. Res.* 86, 299–307.
- Molis, M., Wesseliss, H., Hagen, W., Karsten, U., Wiencke, C., 2009. Do sulphur acid and the brown alga *Desmarestia viridis* support community structure of Arctic kelp patches by altering grazing impact, distribution pattern and feeding behavior of sea urchins. *Polar Biol.* 32, 72–81.
- Moore, L.R., Post, A.F., Rocap, G., Chisholm, S.W., 2002. Utilization of different nitrogen sources by the marine cyanobacteria *Prochlorococcus* and *Synechococcus*. *Limnol. Oceanogr.* 47, 989–996.
- Moss, B., 1969. Limitation of algal growth in some central African waters. *Limnol. Oceanogr.* 14, 591–601.
- Muñoz-Blanco, J., Moyano, E., Cardenas, J., 1990. Extracellular deamination of amino acids by *Chlamydomonas reinhardtii* cells. *Planta* 182, 194–198.
- Nacry, P., Bouguyon, E., Gojon, A., 2013. Nitrogen acquisition by roots: physiological and developmental mechanisms ensuring plant adaptation to a fluctuating resource. *Plant Soil* 370, 1–29.
- Nakayama, M., Akashi, T., Hase, T., 2000. Plant sulfite reductase: molecular structure, catalytic function and interaction with ferredoxin. *J. Inorg. Biochem.* 82, 27–32.
- Nashholm, T., Kielland, K., Hameteg, U., 2009. Uptake of organic nitrogen in plants. *New Phytol.* 182, 31–48.
- Navarro, M.T., Guerra, E., Fernandez, E., Galvan, A., 2000. Nitrite reductase mutants as an approach to understanding nitrate assimilation in *Chlamydomonas reinhardtii*. *Plant Physiol.* 122, 283–290.
- Navarro-González, R., McKay, C.P., Mvondo, D.N., 2001. A possible nitrogen crisis for Archaean life due to reduced nitrogen fixation by lightning. *Nature* 412, 61–64.
- Newton, R.J., Reeves, E.P., Kafousia, N., Wignall, P.B., Bottrell, S., Sha, J.-G., 2011. Low marine sulfate concentrations and the isolation of the European epicontinent sea during the Early Jurassic. *Geol.* 39, 7–10.
- Norici, A., Hell, R., Giordano, M., 2005. Sulfur and primary production in aquatic environments: an ecological perspective. *Photosynth. Res.* 86, 409–417.
- Orsel, M., Chopin, F., Leleu, O., Smith, S.J., Krapp, A., Daniel-Vedele, F., Miller, A.J., 2006. Characterization of a two-component high affinity nitrate uptake system in *Arabidopsis*. Physiology and protein–protein interaction. *Plant Physiol.* 142, 1304–1317.
- Ottosen, L.D.M., Riisgaard-Petersen, N., Nielsen, L.P., 1999. Direct and indirect measurements of nitrification and denitrification in the rhizosphere of aquatic macrophytes. *Aquat. Microb. Ecol.* 19, 81–91.
- Papineau, D., 2010. Global biogeochemical changes at both ends of the Proterozoic: insights from phosphorites. *Astrobiology* 10, 165–181.
- Papineau, D., Purohit, R., Fogel, M.L., Shields-Zhou, G.A., 2013. High phosphate availability as possible cause for massive cyanobacterial production of oxygen in the Paleoproterozoic atmosphere. *Earth Planet. Sci. Lett.* 302, 225–236.
- Partin, C.A., Bekker, A., Planavsky, N.J., Scott, C.T., Gill, B.C., Li, C., Podkovyrov, V., Maslov, A., Konhauser, K.O., Lalonde, S.V., Love, G.D., Poulsen, S.W., Lyons, T.W., 2013. Large-scale fluctuations in Precambrian atmospheric and oceanic oxygen levels from the record of U in shales. *Earth Planet. Sci. Lett.* 369–370, 284–293.
- Patron, N., Durnford, D., Kopriva, S., 2008. Sulfate assimilation in Eukaryotes: evolutionary origins and subcellular localisation. *BMC Evol. Biol.* 8, 39. <http://dx.doi.org/10.1186/1471-2148-8-39>.
- Pelletreau, K.N., Muller-Parker, G., 2002. Sulfuric acid in the phaeophyte alga *Desmarestia munda* deters feeding by the sea urchin *Strongylocentrotus droebachiensis*. *Mar. Biol.* 141, 1–9.
- Petrychenko, O.Y., Peryt, T.M.T., Chechel, E.I., 2005. Early Cambrian seawater chemistry from fluid inclusions in halite from Siberian evaporites. *Chem. Geol.* 219, 149–161.
- Pilgrim, M.L., Caspar, T., Quail, P.H., McClung, C.R., 1993. Circadian and light regulated expression of nitrate reductase in *Arabidopsis*. *Plant Mol. Biol.* 23, 349–364.
- Planavsky, N.J., Rouxel, O.J., Bekker, A., Lalonde, S.V., Konhauser, K.O., Reinhard, C.T., Lyons, T.W., 2010. The evolution of the marine phosphate reservoir. *Nature* 467, 1088–1090.
- Planavsky, N.J., Bekker, A., Hoffman, A., Owens, J.D., Lyons, T.W., 2012. Sulfur records of rising and falling oxygen and sulfate levels during the Lomagundi event. *Proc. Nat. Acad. Sci. U.S.A.* 109, 18300–18305.
- Pomin, V.H., 2010. Structural and functional insights into sulfated galactans: a systematic review. *Glycoconjuge J.* 27, 1–12.
- Popper, Z.A., Tuohy, M.G., 2010. Beyond the green: understanding the evolutionary puzzle of plant and algal cell walls. *Plant Physiol.* 152, 373–383. <http://dx.doi.org/10.1104/pp.110.158055>.
- Pootakham, W., Gonzalez-Ballester, D., Grossman, A.R., 2010. Identification and regulation of plasma membrane sulphate transporters in *Chlamydomonas*. *Plant Physiol.* 153, 1653–1660.
- Quesada, A., Gomez-Garcia, I., Fernandez, E., 2000. Involvement of chloroplast and mitochondria redox valves in nitrate assimilation. *Trends Plant Sci.* 5, 463–464.
- Quigg, A., Irwin, A.J., Finkel, Z.V., 2011. Evolutionary inheritance of elemental stoichiometry in phytoplankton. *Proc. R. Soc. London, Ser. B* 278, 526–534.
- Rai, A.N., Bergman, B., Rasmussen, U., 2003. *Cyanobacteria in Symbiosis*. Springer, Dordrecht, Netherlands.
- Ratti, S., Giordano, M., 2008. Allocation of sulfur to sulfonium compounds in microalgae. In: Khan, N.A., Singh, S., Umar, S. (Eds.), *Sulfur Assimilation and Abiotic Stress in Plants*. Springer-Verlag, Berlin, pp. 317–333.
- Ratti, S., Knoll, A.H., Giordano, M., 2011. Did sulfate availability facilitate the evolutionary expansion of chlorophyll a + c phytoplankton in the oceans? *Geobiology* 9, 301–312. <http://dx.doi.org/10.1111/j.1472-4669.2011.00284.x>.
- Ratti, S., Knoll, A.H., Giordano, M., 2013. Grazers and phytoplankton growth in the oceans: an experimental and evolutionary perspective. *PLoS One* 8 (10), e77349. <http://dx.doi.org/10.1371/journal.pone.0077349>.
- Raven, H.M., 1964. *Biochemieches Taschenbuch*. Springer, Berlin.
- Rausch, T., Wachter, A., 2005. Sulfur metabolism: a versatile platform for launching defence operations. *Trends Plant Sci.* 10, 503–509.
- Raven, J.A., 1984. *Energetics and Transport in Aquatic Plants*. AR Liss, New York, NY.
- Raven, J.A., 2003. Can plants rely on nitrate? *Trends Plant Sci.* 8, 314–315.
- Raven, J.A., 2012. Protein turnover and plant RNA and phosphorus requirements in relation to nitrogen fixation. *Plant Sci.* 188–189, 25–35.
- Raven, J.A., 2013a. The evolution of autotrophy in relation to phosphorus requirement. *J. Exp. Bot.* 64, 4023–4046.
- Raven, J.A., Smith, F.A., 1976. Nitrogen assimilation and transport in vascular land plants in relation to intracellular pH regulation. *New Phytol.* 76, 415–431.
- Raven, J.A., 2013b. Half a century of pursuing the pervasive proton. In: Lütge, U., et al. (Eds.), *Progress in Botany*, vol. 74, pp. 3–34. doi:10.1007/978-3-642-30967-0_1.
- Raven, J.A., 1986. Biochemical disposal of excess H^+ in plants? *New Phytol.* 104, 175–206.
- Raven, J.A., Wollenweber, B., Handley, L.L., 1992a. Ammonia and ammonium fluxes between photolithotrophs and the environment in relation to the global nitrogen cycle. *New Phytol.* 121, 5–18.
- Raven, J.A., Wollenweber, B., Handley, L.L., 1992b. A comparison of ammonium and nitrate as nitrogen sources for photolithotrophic. *New Phytol.* 121, 19–32.
- Raven, J.A., Scrimgeour, C.M., 1997. The influence of anoxia in plants from saline habitats with special reference to the sulphur cycle. *Annu. Bot.* 79 (Suppl A), 79–86.
- Raven, J.A., Beardall, J., Larkum, A.W.D., Sanchez-Baracaldo, P., 2013. Interactions of photosynthesis with genome size and function. *Philos. Trans. R. Soc. London, Ser. B* 368, 20120264.
- Ravina, C.G., Chang, C.-I., Tsakraklides, G.P., McDermott, J.P., Vega, J.M., Leustek, T., Gotur, C., Davies, J.P., 2002. The sac mutants of *Chlamydomonas reinhardtii* reveal transcriptional and posttranscriptional control of cysteine biosynthesis. *Plant Physiol.* 130, 2076–2084.
- Rees, T.A.V., Cresswell, R.C., Syrett, P.J., 1980. Sodium-dependent uptake of nitrate and urate by a marine diatom. *Biochim. Biophys. Acta* 596, 141–144.
- Reid, R.J., Mimura, T., Ohsumi, Y., Walker, N.A., Smith, F.A., 2000. phosphate uptake in *Chlamydomonas*: membrane transport via NaPi cotransport. *Plant Cell Environ.* 23, 223–228.
- Reinhard, C.T., Planavsky, N.J., Robbins, C.J., Partin, C.A., Gill, B.C., Lalonde, S.V., Bekker, A., Konhauser, K.O., Lyons, T.W., 2013. Proterozoic ocean redox and biogeochemical stasis. *Proc. Nat. Acad. Sci. U.S.A.* 110, 5357–5362.
- Rentsch, D., Schmidt, S., Tegeder, M., 2007. Transporters for uptake and allocation of organic nitrogen compounds on plants. *FEBS Lett.* 581, 2281–2289.
- Rezach, J., Montero, B., Fernandez, E., Galvan, A., 1999. Differential regulation of the high affinity nitrate transport systems III and IV in *Chlamydomonas reinhardtii*. *J. Biol. Chem.* 274, 27801–27806.
- Riisgaard-Petersen, N., Jensen, K., 1997. Nitrification and denitrification in the rhizosphere of the aquatic macrophyte *Ludwigia dortmanna* L. *Limnol. Oceanogr.* 42, 529–537.
- Ritchie, R.J., 1996. Sulphate transport in the cyanobacterium *Synechococcus* R2 (*Anabaena variabilis*, *S. leopoliensis*). *PPC* 7942. *Plant Cell Environ.* 19, 1307–1315.
- Robic, A., Rondeau-Mouro, C., Sassi, J.F., Lerat, Y., Lahaye, M., 2009. Structure and interactions of Ulvan in the cell wall of the marine green algae *Ulva rotundata* (Ulvales, Chlorophyceae). *Carbohydr. Polym.* 77, 206–216.
- Rowell, P., James, W., Smith, W.L., Handley, L.L., Scrimgeour, C.M., 1998. ^{35}N -discrimination in molybdenum- and vanadium-grown N_2 -fixing *Anabaena variabilis* and *Azotobacter vinelandii*. *Soil Biol. Biochem.* 30, 2171–2180.
- Ruan, Z., 2013. Energy partitioning between the CO_2 concentrating mechanism and N assimilation in the cyanobacterium *Synechococcus* UTEX 2380 repercussions on cell composition and stoichiometry. In: Ph.D. Thesis. Università Politcnica delle Marche, Ancona, Italy.
- Rubio, L., Linares-Rueda, A., Garcia-Sánchez, M.J., Fernandez, E., 2005. Physiological evidence for a sodium-dependent high-affinity phosphate and nitrate transport at the plasma membrane of leaf and root cells of *Zosteria marina*. *J. Exp. Bot.* 56, 613–622.
- Sakihama, Y., Nakamura, S., Yamasaki, H., 2002. Nitric oxide production mediated by nitrate reductase in the green alga *Chlamydomonas reinhardtii*: an alternative NO production pathway in photosynthetic organisms. *Plant Cell Physiol.* 43, 290–297.
- Sanz-Luque, E., Ocana-Calabro, F., Llama, A., Galvan, A., Fernandez, E., 2013. Nitric oxide controls nitrate and ammonium assimilation in *Chlamydomonas reinhardtii*. *J. Exp. Bot.* 64, 3373–3383.
- Sanchez-Baracaldo, P., Ridgwell, A., Raven, J.A., 2014. A Neoproterozoic transition in the marine nitrogen cycle. *Curr. Biol.* 6, 652–657.
- Sasaki, H., Kataoka, H., Kamiya, M., Karai, H., 2002. Accumulation of sulfuric acid in *Dictyota* (Phaeophyceae): taxonomic distribution and ion chromatography of cell extracts. *J. Phycol.* 35, 732–739.
- Schmalenberger, A., Noll, M., 2014. Bacterial communities in grassland turfs respond to sulphuric addition while fungal communities remain largely unchanged. *Eur. J. Soil Biol.* 61, 12–19.

- Schmidt, S., Raven, J.A., Paungfoo-Linbane, C., 2013. The mixotrophic nature of photosynthetic plants. *Funct. Plant Biol.* 40, 425–438. doi: 10.1071/FP13061.
- Schnell, R., Sandalova, T., Hellman, U., Lindqvist, Y., Schneider, G., 2005. Siroheme- and [Fe4-S4]-dependent NiA from *Mycobacterium tuberculosis* is a Sulfite Reductase with a Covalent Cys-Tyr Bond in the Active Site. *J. Biol. Chem.* 280, 27319–27328.
- Scott, C., Wing, B.A., Bekker, A., Planavsky, N.J., Medvedev, P., Bates, S.M., Yun, M., Lyons, T.W., 2014. Pyrite multiple-sulfur isotope evidence for rapid expansion and contraction of the early Paleoproterozoic seawater sulfate reservoir. *Earth Planet. Sci. Lett.* 389, 95–104.
- Segel, I.H., 1975. Biochemical Calculations. Wiley, New York, NY.
- Shen, Y., Canfield, D.E., Knoll, A.H., 2002. Middle Proterozoic ocean chemistry: evidence from the McArthur Basin, Northern Australia. *Am. J. Sci.* 302, 81–109.
- Sheremeti, I., Sopory, S.K., Trebicka, A., Pfannschmidt, T., Oelmüller, R., 2002. Photosynthetic electron transport determines Nitrate Reductase gene expression and activity in higher plants. *J. Biol. Chem.* 279, 46594–46600.
- Shibagaki, N., Grossman, A.R., 2010. Blinding of cysteine synthase to the STAS domain of sulfate and its regulatory consequences. *J. Biol. Chem.* 285, 25094–25102.
- Sirkó, A., Hrymiewicz, M., Hulanicka, D., Böck, A., 1990. Sulfate and thiosulfate transport in *Escherichia coli* K-12: nucleotide sequence and expression of the *cysTWA* gene cluster. *J. Bacteriol.* 172, 3351–3357.
- Smith, F.W., Ealing, P.M., Hawkesford, M.J., Clarkson, D.T., 1995. Plant members of a family of sulfate transporters reveal functional subtypes. *Proc. Natl. Acad. Sci. U.S.A.* 92, 9373–9377.
- Sohm, J.A., Webb, E.A., Capone, D.G., 2011. Emerging patterns of marine nitrogen fixation. *Nat. Rev. Microbiol.* 9, 499–508.
- Solomon, C.M., Collier, J.L., Berg, G.M., Gilbert, P.M., 2010. Role of urea in microbial metabolism in aquatic systems: a biochemical and molecular review. *Aquat. Microb. Ecol.* 59, 67–88.
- Soupene, E., King, N., Field, E., Liu, P., Niyogi, K.K., Huang, C.H., Kustu, S., 2002. Rhesus expression in a green alga is regulated by CO₂. *Proc. Natl. Acad. Sci. U.S.A.* 99, 7769–7773.
- Soupene, E., Inweed, W., Kustu, S., 2004. Lack of the Rhesus protein Rh1 impairs growth of the green alga *Chlamydomonas reinhardtii* at high CO₂. *Proc. Natl. Acad. Sci. U.S.A.* 101, 7787–7792.
- Stefels, J., 2000. Physiological aspects of the production and conversion of DMSP in marine algae and higher plants. *J. Sea Res.* 43, 183–197.
- Stewart, J.J., Coyne, K.J., 2011. Analysis of raphidophyte assimilatory nitrate reductase reveals unique dimeric architecture incorporation a 2/2 hemoglobin. *Plant Mol. Biol.* 77, 5565–5575.
- Stitt, M., 1999. Nitrate regulation of metabolism and growth. *Curr. Opin. Plant Biol.* 2, 178–186.
- Takahashi, H., 2010. Sulfate transport and assimilation in plants. *Int. Rev. Cell Mol. Biol.* 281, 129–159.
- Sugiura, M., Georgescu, M.N., Takahashi, M., 2007. A nitrite transporter associated with nitrite uptake by higher plant chloroplasts. *Plant Cell Physiol.* 48, 1022–1035, <http://dx.doi.org/10.1093/pcp/pcm073>.
- Takahashi, H., Buchner, P., Yoshimoto, N., Hawkesford, M.J., Shiu, S.-H., 2012. Evolutionary relationships and functional diversity of plant sulfate transporters. *Front. Plant Sci.* 2, 119, <http://dx.doi.org/10.3389/fpls.2011.00119>.
- Takahashi, H., Kopriva, S., Giordano, M., Saito, K., Hell, R., 2011. Sulfur assimilation in photosynthetic organisms: molecular functions and regulations of transporters and assimilatory enzymes. *Annu. Rev. Plant Biol.* 62, 157–184, <http://dx.doi.org/10.1146/annurev-arplant-042110-103921>.
- Thauer, R.K., Jungermann, K., Decker, K., 1977. Energy conservation in chemotrophic anaerobic bacteria. *Bacteriol. Rev.* 41 (1), 100–180.
- Thompson, A.W., Foster, R.A., Krupke, A., Carter, B.J., Musat, N., Vaulot, D., Kuyper, M.M.M., Zehr, J.P., 2012. unicellular cyanobacterium symbiotic with a single-celled eukaryotic alga. *Science* 337, 1546–1550.
- Tischner, R., Planchet, E., Kaiser, W.M., 2004. Mitochondrial electron transport as a source for nitric oxide in the unicellular alga *Chlorella sorokiniana*. *FEBS Lett.* 576, 151–155.
- Ullrich, W.R., Larsson, M., Larsson, C.M., Lesch, S., Novacky, A., 1984. Ammonium uptake in *Lemna gibba* L. related membrane potential changes, and inhibition of amino uptake. *Physiol. Plant.* 61, 369–376.
- Van Mooy, B.A.S., Rocap, G., Fredricks, H.F., Evans, C.T., Devol, A.H., 2006. Sulfolipids dramatically decrease phosphorus demand in oligotrophic marine environments. *Proc. Natl. Acad. Sci. U.S.A.* 103, 8607–8612.
- Van Mooy, B.A.S., Fredricks, H.F., Pedler, B.E., Dyhrman, S.T., Karl, D.M., Koblizek, M., Lomas, M.W., Mincer, T.J., Moore, L.R., Moutin, T., Rappe, M.S., Webb, E.A., 2009. Phytoplankton in the oceans use non-phosphorus lipids in response to phosphorus scarcity. *Nature* 458, 69–72.
- Vieler, A., Wilhelm, C., Goss, R., StüB, R., Schiller, J., 2007. The lipid composition of the unicellular green alga *Chlamydomonas reinhardtii* and the diatom *Cyclotella menginiana* investigated by MALDI-TOF MS and TLC. *Chem. Phys. Lipids* 150, 143–155.
- Walker, N.A., Reid, R.J., Smith, F.A., 1993. The uptake and metabolism of urea by *Chloromyxus*. IV. Symport with sodium—a slip model for the high and low affinity systems. *J. Membr. Biol.* 136, 263–271.
- Wang, R., 2003. The gasotransmitter role of hydrogen sulfide. *Antioxid. Redox Signaling* 5, 493–501.
- Wang, R., Tischner, R., Gutierrez, R.A., Hoffman, M., Xing, X., Chen, M., Coruzzi, G., Crawford, N.M., 2004. Genomic analysis of the nitrate response using a nitrate reductase-null mutant of *Arabidopsis*. *Plant Physiol.* 136, 2512–2522.
- Wang, W.-H., Köhler, B., Cao, F.-Q., Liu, L.-H., 2008. Molecular and physiological aspects of urea transport in higher plants. *Plant Sci.* 175, 467–477.
- Wang, R., Liu, D., Crawford, N.M., 1998. The *Arabidopsis* CHL1 protein plays a major role in high-affinity nitrate uptake. *Proc. Natl. Acad. Sci. USA* 95, 15134–15139.
- Waraich, E.A., Ahmad, R., Saifullah Ashraf, M.Y., Ehsanullah, 2011. Role of mineral nutrition in alleviation of drought stress in plants. *Aust. J. Crop Sci.* 5, 764–777.
- Weiss, M., Haimovich, G., Pick, U., 2001. Phosphate and sulfate uptake in the halotolerant alga *Dunaliella* are driven by Na⁺-symport mechanism. *J. Plant Physiol.* 158, 1219–1225.
- Werner, A.K., Medina-Escobar, N., Zulawski, M., Sparkes, I.A., Cao, F.Q., Witte, C.-P., 2013. The ureide-degrading reactions of purine ring catabolism employ three amidohydrolases and one amidohydrolase in *Arabidopsis*, soybean, and rice. *Plant Physiol.* 163, 672–681.
- White, P.J., Bowen, M.C., Marshall, B., Broadly, M.R., 2007. Extraordinarily high leaf selenium to sulfur ratios define Se-accumulator plants. *Ann. Bot.* 100, 111–118.
- Williams, S.K., Hodson, R.C., 1977. Transport of urea at low concentrations in *Chlamydomonas reinhardtii*. *J. Bacteriol.* 130, 266–273.
- Witte, C.-P., 2011. Urea metabolism in plants. *Plant Sci.* 180, 431–438.
- Wium-Andersen, S.S., Anthoni, U., Christensen, C., Houen, G., 1982. Allelopathic effects on phytoplankton of substances isolated from aquatic macrophytes (Charales). *Oikos* 39, 187–190.
- Yano, T., Kaiya, M., Arai, S., Kawai, H., 2004. Morphological homoplasy in Japanese *Hormannia* species (Plocamiales, Rhodophyta) inferred from the Rubisco spacer sequence and intracellular acidity. *Phycologia* 43, 383–393.
- Young, E.B., Dring, M.J., Savidge, J.G., Birkt, D.A., Berge, J., 2007. Seasonal variations in nitrate reductase activity and internal N pools in intertidal brown algae are correlated with ambient nitrate concentrations. *Plant Cell Environ.* 30, 764–774.
- Zehr, J.P., 2011. Nitrogen fixation by marine cyanobacteria. *Trend Microbiol.* 19, 162–173.
- Zhang, B., Pasini, R., Dab, H., Joshi, N., Zhao, Y., Lesustek, T., Zheng, Z.-L., 2014. Aberrant gene expression in the *Arabidopsis* SULTR1;2 mutants suggests a possible regulatory role for this sulfate transporter in response to sulfur nutrient status. *Plant J.* 77, 185–197.
- Zhou, J.J., Theodoulou, F.L., Muldin, I., Ingemarsson, B., Mille, A.J., 1998. Cloning and functional characterization of a *Brassica napus* transporter that is able to transport nitrate and histidine. *J. Biol. Chem.* 273, 12017–12023.



برای خرید فرمت ورد این ترجمه، بدون واتر مارک، اینجا کلیک نمایید.



این مقاله، از سری مقالات ترجمه شده رایگان سایت ترجمه فا میباشد که با فرمت PDF در اختیار شما عزیزان قرار گرفته است. در صورت تمایل میتوانید با کلیک بر روی دکمه های زیر از سایر مقالات نیز استفاده نمایید:

✓ لیست مقالات ترجمه شده

✓ لیست مقالات ترجمه شده رایگان

✓ لیست جدیدترین مقالات انگلیسی ISI

سایت ترجمه فا؛ مرجع جدیدترین مقالات ترجمه شده از نشریات معتبر خارجی